


CENTRO DE CIÊNCIAS E TECNOLOGIA
UNIVERSIDADE FEDERAL DA PARAÍBA


SIMIN JALALI R. RABBANI

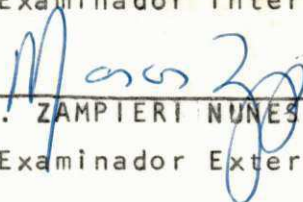
ARRANJOS ÓTIMOS DE DESLOCAMENTO DE
EQUIPAMENTO ENTRE DIFERENTES POLOS

TESE SUBMETIDA AO CORPO DOCENTE DA COORDENAÇÃO DOS CURSOS DE PÓS
GRADUAÇÃO DE ENGENHARIA DO CENTRO DE CIÊNCIAS E TECNOLOGIA DA
UNIVERSIDADE FEDERAL DA PARAÍBA COMO PARTE DOS REQUISITOS NECES
SÁRIOS PARA OBTENÇÃO DO GRAU DE MESTRE EM CIÊNCIAS (M.Sc.).

COMISSÃO EXAMINADORA:


JEAN CLAUDE PICARD - Ph.D.
Presidente


EDUARDO ANDRADE VELOSO - M.Sc.
Examinador Interno


MARCOS A. ZAMPIERI NUNES - M.Sc.
Examinador Externo

Campina Grande - Paraíba

Agosto - 1977

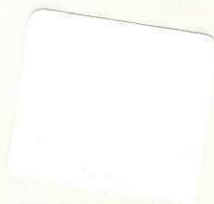


R113a Rabbani, Simin Jalali R.
Arranjos ótimos de deslocamento de equipamento entre diferentes polos / Simin Jalali R. Rabbani. - Campina Grande, 1977.
103 f.

Dissertação (Mestrado em Ciências) - Universidade Federal da Paraíba, Centro de Ciências e Tecnologia, 1977.
"Orientação : Prof. Dr. Jean Claude Picard".
Referências.

1. Transportadores de Equipamentos - Arranjos entre Polos. 2. Deslocamento de Equipamentos. 3. Arranjos de Deslocamento. 4. Dissertação - Ciências. I. Picard, Jean Claude. II. Universidade Federal da Paraíba - Campina Grande (PB). III. Título

CDU 621.87:519.14(043)



Aos meus pais

A G R A D E C I M E N T O S

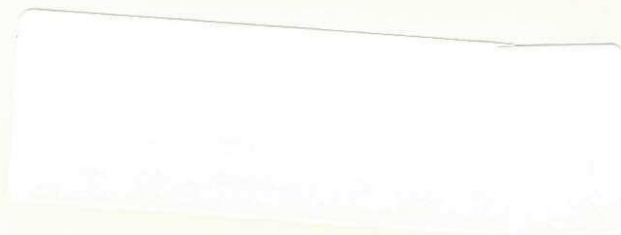
Ao seu orientador Prof. Jean Claude Picard pela assistência dada durante a execução deste trabalho, sem a qual não seria possível sua conclusão.

Ao Prof. Marcos A. Zampieri Nunes, Prof. Luiz Carlos Marcondes e Prof. Eduardo Andrade Veloso que de uma forma ou de outra, prestaram sua colaboração.

A Senhora Leônia Leão da Nóbrega por sua ajuda na preparação dessa dissertação.

A todos os colegas de curso pelo apoio sempre patenteadado.

Finalmente (que não é de menor importância) agradece a D. Safa, Soheil, Massoud e Emília pela compreensão e paciência que sempre demonstraram, sem as quais não seria possível a realização deste trabalho.



A B S T R A C T

This work aims at the optimization of total travel time for transportation of equipments between different points. For the solution, a network of points in the North - East of Brazil is considered.

Three different methods using Graph Theory have been used to determine the optimal arrangement. The minimum cost movements are computed by using the algorithms of Klein; Busacker and Gowen; as well as the method of optimal assignment. Further the adequacy of the Clarke and Wright algorithm for solving such a problem is discussed subject to a few restrictions.

The results obtained in this study show that the above methods of graph theory can be used to determine the minimum travel time between different points.

R E S U M O

Este trabalho visa a otimização do tempo total de viagem, para o deslocamento de equipamentos entre diferentes polos. Para solucionar o problema utilizou-se uma rede de pontos existentes na região do Nordeste Brasileiro.

Três métodos diferentes empregando Teoria dos Grafos vem sendo utilizados para determinar o arranjo ótimo. Os movimentos ao custo mínimo são computados, emprega-se os métodos de Klein; Busacker e Gowen; e o da designação ótima. A adequação do método de Clarke e Wright para solucionar tal problema é discutida sujeito a algumas restrições.

Os resultados obtidos nesse estudo mostram que os métodos, referidos acima, podem ser utilizados para determinar o tempo mínimo de viagem entre diferentes polos.

I N D Í C E

	OFERECIMENTO	ii
	AGRADECIMENTOS	iii
	ABSTRACT	iv
	RESUMO	v
CAPÍTULO I	- INTRODUÇÃO	1
CAPÍTULO II	- OBJETIVO	3
CAPÍTULO III	- DEFINIÇÃO E REVISÃO DE CONCEITOS GERAIS	5
	III.1 - <u>CONCEITOS GERAIS</u>	5
	III.1.1 - GRAFO	5
	III.1.2 - CAMINHO	8
	III.1.3 - CUSTO	10
	III.1.4 - CIRCUITO	10
	III.2 - <u>REDES, FLUXO MÁXIMO E FLUXO DE CUSTO MÍNIMO</u>	11
	III.2.1 - REDE	11
	III.2.2 - FLUXO EM UMA REDE	11
	III.2.3 - FLUXO COM CUSTO MÍNIMO EM UMA REDE	13
	III.3 - <u>PROBLEMA DE TRANSPORTE</u>	15
	III.3.1 - PROBLEMA DE DESIGNAÇÃO ÓTIMA	16

CAPÍTULO IV	- COLETA DE DADOS	18
IV.1	- <u>INTRODUÇÃO</u>	18
IV.2	- <u>ORGANIZAÇÃO DE DADOS</u>	20
IV.3	- <u>CONSIDERAÇÕES GERAIS</u>	26
CAPÍTULO V	- OTIMIZAÇÃO EM REDES	33
V.1	- <u>MENOR CAMINHO</u>	33
V.1.1	- MENOR CAMINHO DE s PARA OUTROS VÉRTICES	34
V.1.2	- MENORES CAMINHOS ENTRE TODOS OS PARES DE VÉRTICES (ALGORITMO DE FLOYD)	43
V.2	- <u>MÉTODO DE PESQUISA DIRETA PARA DETETAR O CIRCUITO NEGATIVO DA REDE</u>	46
V.2.1	- DESCRIÇÃO DO ALGORITMO	46
V.3	- <u>FLUXO COM CUSTO MÍNIMO EM UMA REDE</u>	48
V.3.1	- ALGORITMO DE BUSACKER E GOWEN	49
V.3.2	- ALGORITMO DE KLEIN	52
V.3.3	- ALGORITMO DA DESIGNAÇÃO	57
CAPÍTULO VI	- DESCRIÇÃO DOS MÉTODOS DE RESOLUÇÃO	62
VI.1	- <u>INTRODUÇÃO</u>	62
VI.2	- <u>HIPÓTESES</u>	63
VI.3	- <u>MÉTODOS DE RESOLUÇÃO</u>	65
VI.3.1	- MÉTODO DE BUSACKER E GOWEN	65
VI.3.2	- MÉTODO DE KLEIN	66
VI.3.3	- MÉTODO DE DESIGNAÇÃO ÓTIMA	68

VI.3.4- MÉTODO DE CLARKE E WRIGHT	68
CAPÍTULO VII - APRESENTAÇÃO DE RESULTADOS	73
CAPÍTULO VIII - CONCLUSÕES	81
REFERÊNCIAS BIBLIOGRÁFICAS	82
APÊNDICE A	
APÊNDICE B	
APÊNDICE C	
APÊNDICE D	

CAPÍTULO I

I N T R O D U Ç Ã O

Devido a sua vasta aplicabilidade, o estudo da teoria dos grafos se expandiu rapidamente. Um fato importante nesse desenvolvimento foi o aperfeiçoamento dos computadores.

A representação detalhada e direta dos sistemas práticos, como as distribuições ou redes dos meios de comunicações conduz aos grafos de grandes tamanhos. O sucesso das análises desses grafos depende tanto da existência de bons algoritmos, como da disponibilidade de computadores velozes.

Neste trabalho se aplica a teoria dos grafos a fim de minimizar o tempo de deslocamento de equipamentos entre diversos polos.

No sentido de solucionar o referido problema,

utilizou-se tres métodos teóricos de grafos; método de Busa
cker e Gowen, e de Klein e o método de designação.

Os métodos foram ensaiados satisfatoriamente
sobre dados práticos.

A tese começa - mais particularmente - no Capítu
lo II com a definição do escopo deste trabalho. No Capítulo
III serão explicados os conceitos gerais de teoria dos gra -
fos necessárias ao bom entendimento das técnicas utilizadas
neste trabalho. O Capítulo IV descreve o processo de coletar
os dados. No Capítulo V serão apresentados os algoritmos uti
lizados. O Capítulo VI apresenta as técnicas utilizadas para
resolver o problema, e os resultados são descritos no Capítu
lo VII. A conclusão do trabalho será apresentado no Capítulo
VIII.

Os programas principais são encontrados no
apêndice.

CAPÍTULO II

O B J E T I V O

Desenvolveu-se na Associação Técnico-Científica "Ernesto Luiz de Oliveira Júnior" - ATECEL, Órgão da Universidade Federal da Paraíba, um projeto denominado de "Pesquisa de Origem e Destino", no ano de 1975. A finalidade da pesquisa era obter um conjunto de informações básicas sobre o fluxo de riquezas escoadas ou recebidas na região Nordeste brasileira, identificando os polos de origem-destino, a frequência deste intercâmbio, bem como da distância em que essas riquezas se deslocam para alcançarem o objetivo da comercialização. Para obter os objetivos definidos foram selecionadas (entre as vias de comunicações que compõem a malha rodoviária nordestina) as vias com valores significativos de volume de tráfego e alocou-se estrategicamente noventa e dois "Postos de Coleta de Dados", capazes de captar o intercâmbio entre os diversos polos internos na região nordestina e o restante do País.

Para a execução da coleta dos dados, o Projeto foi dividido em seis etapas de execução. Baseado no volume de tráfego existente no trecho escolhido, e as dificuldades de cada área de atuação. Para investigação em cada posto foi necessário de 1 a 2 conjuntos de equipamentos. O número máximo de postos investigados foi de 23 e, utilizou-se no máximo 25 conjuntos de equipamentos. (12)

O objetivo deste trabalho é o de se chegar ao arranjo "ótimo" de distribuição de equipamento, de maneira que, minimize o tempo de deslocamento ou, em outras palavras, os custos de transportes.

CAPÍTULO III

DEFINIÇÃO E REVISÃO DE CONCEITOS GERAIS

Neste capítulo serão apresentados apenas os conceitos gerais, e definições indispensáveis ao bom entendimento das técnicas utilizadas nesse trabalho, e está basicamente dividido em três partes. Na primeira é feita uma revisão dos conceitos mais utilizados da teoria dos grafos. Na segunda é estudado o problema de fluxo máximo em uma rede e o fluxo com o custo mínimo, e na terceira, são apresentados os problemas de atribuição, transporte e designação.

III.1 - CONCEITOS GERAIS

III.1.1 - GRAFO

Um grafo G é uma coleção de nós ou vértices

x_1, x_2, \dots, x_n (o conjunto X) e uma coleção de linhas a_1, a_2, \dots, a_m (o conjunto A) ligando todos, ou alguns desses vértices. Geralmente representa-se um grafo G por $G(X, A)$.

Se os elementos em A tiverem uma direção, esta será usualmente indicada por uma seta, e são chamados arcos, e o grafo resultante é chamado de um grafo direcionado (Figura III.1.a). Se os elementos no conjunto A não tiverem nenhuma direção, são chamados ramos, e o grafo é um grafo não direcionado (Figura III.1.b). Um grafo mixto é um grafo que tem arcos e ramos (Figura III.1.c). Explica-se que um ramo em um grafo não direcionado ou mixto é equivalente a dois arcos em sentido contrário.

Uma maneira alternativa e freqüentemente preferível para descrever um grafo G , é especificado o conjunto X de vértices e uma correspondência Γ , a qual mostra como eles são interligados. Γ é chamada uma aplicação do conjunto X em X , e o grafo é denotado por $G(X, \Gamma)$. No exemplo da Figura III.1.a tem-se:

$\Gamma(x_1) = \{x_2, x_5\}$; isto é, x_2, x_5 são os vértices finais dos arcos cujo nó inicial é x_1 .

$$\Gamma(x_2) = \{x_1, x_3\};$$

$$\Gamma(x_3) = \{x_1\};$$

$$\Gamma(x_4) = \phi, \text{ o conjunto nulo, ou conjunto vazio}$$

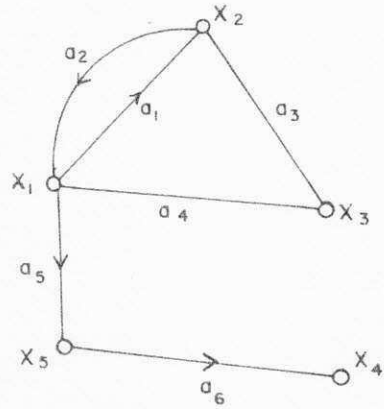


FIGURA III. 1.a. - GRAFO DIRECIONADO

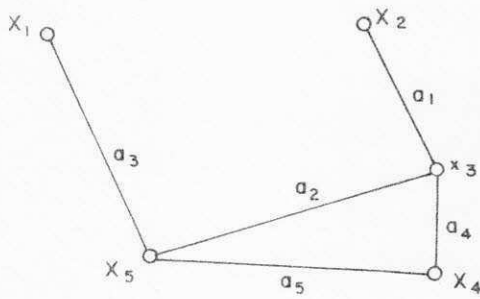


FIGURA III. 1.b - GRAFO NÃO-DIRECIONADO

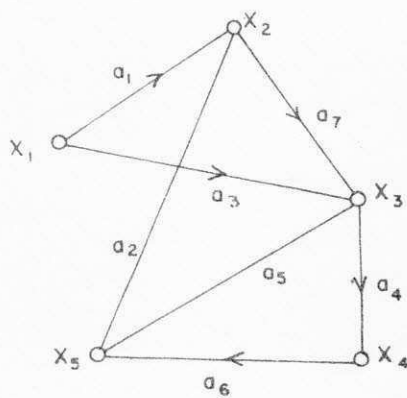


FIGURA III. 1.c - GRAFO MIXTO

De um modo similar o conjunto de v̄ertices x_k para o qual um arco (x_k, x_i) existe no grafo, escreve-se como $\Gamma^{-1}(x_i)$. Portanto, a relação $\Gamma^{-1}(x_i)$ ẽ chamada aplicação inversa. Por exemplo: para o grafo da Figura III.1.a tem-se:

$$\Gamma^{-1}(x_1) = \{x_2, x_3\}$$

$$\Gamma^{-1}(x_2) = \{x_1\}$$

Grafo Bipartido - Um grafo ẽ chamado de bi-partido se os v̄ertices poderem ser particionados em dois conjuntos

$$S = \{s_i\} \quad (i = 1, \dots, m) \quad \text{e} \quad T = \{t_j\} \quad (j = 1, \dots, n)$$

de maneira que todos os arcos sejam de tipo (s_i, t_j) (veja Figura III.4).

III.1.2 - CAMINHO

Em um grafo direcionado, uma seq̄uẽncia de arcos onde o n̄o final de um arco ẽ o v̄ertice inicial do seguinte, ẽ chamado de um caminho. Portanto, na Figura III.2 a seq̄uẽncia dos v̄ertices s̃o caminhos:

$$x_1, x_2, x_5, x_4, x_3, x_5, x_6;$$

$$x_1, x_2, x_5, x_4, x_3;$$

$$x_1, x_2, x_5, x_4, x_3, x_2, x_5, x_6$$

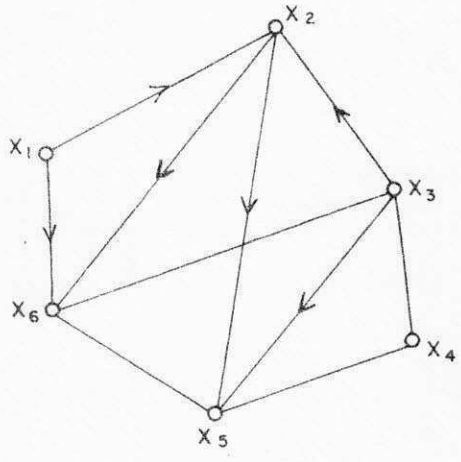


FIGURA III.2 - GRAFO PARA APRESENTAÇÃO CAMINHO

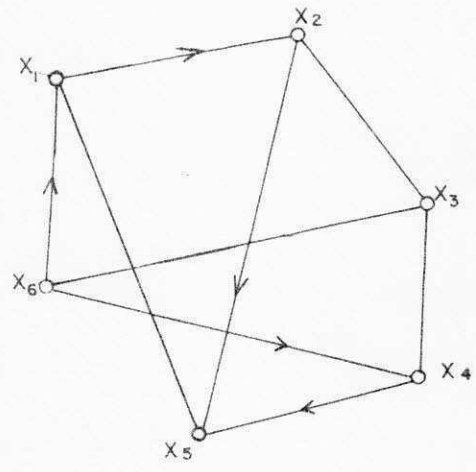


FIGURA III.3 - GRAFO PARA APRESENTAÇÃO CIRCUITO

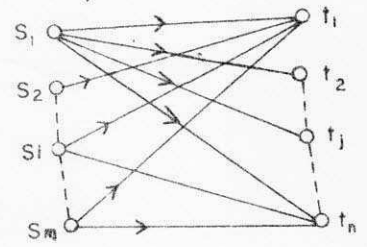


FIGURA III.4 - GRAFO BIPARTIDO

III.1.3 - CUSTO

Um número C_{ij} às vezes pode ser associado a um arco (x_i, x_j) . Esses números são chamados de custos ou pesos, e, por isso, o grafo é chamado de um grafo com arcos ponderados.

Desde que pode se apresentar o caminho pela sequência dos arcos (a_1, a_2, \dots, a_q) o custo do caminho $L(\mu)$ é o somatório dos custos nos arcos que aparecem em μ , isto é:

$$L(\mu) = \sum C_{ij} (x_i, x_j) \text{ em } \mu$$

Cardinalidade do caminho μ é o número de arcos (q) que aparecem neste mesmo caminho.

III.1.4 - CIRCUITO

Um Circuito é um caminho x_1, x_2, \dots, x_n no qual o vértice inicial x_1 coincide com o vértice final x_n . Portanto, na Figura III.3 as seguintes seqüências formam circuitos:

$$x_1, x_2, x_5, x_1;$$

$$x_5, x_1, x_2, x_3, x_6, x_1, x_2, x_5$$

$$x_1, x_2, x_3, x_6, x_4, x_5, x_1$$

O problema do menor caminho é o de encontrar

o caminho do valor mínimo de um vértice inicial $s \in X$ a um vértice final específico $t \in X$. Para cada grafo $G(X, \Gamma)$ com arcos ponderados, define-se uma matriz de custo $C = (C_{ij})$. Os elementos da matriz de custo podem ser positivos, negativos ou nulos.

III.2 - REDES, FLUXO MÁXIMO E FLUXO DE CUSTO MÍNIMO

III.2.1 - REDE

Uma rede é um grafo $G(X, A)$ onde se associa para cada elemento do conjunto A um número b_{ij} denominado de capacidade do arco. Os elementos do conjunto de capacidade B podem variar de zero a infinito (∞). Existem dois vértices especiais em uma rede: a fonte (s) e o vértice terminal (t).

III.2.2 - FLUXO EM UMA REDE

Um conjunto de números f_{ij} é chamado de fluxo em uma rede, se satisfaz as seguintes restrições:

$$(1) \quad \sum_{x_j \in \Gamma(x_i)} f_{ij} - \sum_{x_k \in \Gamma^{-1}(x_i)} f_{ki} = \begin{cases} V & \text{se } x_i = s \\ 0 & \text{se } x_i \neq s \text{ ou } t \\ -V & \text{se } x_i = t \end{cases}$$

$$(2) \quad 0 \leq f_{ij} \leq b_{ij} \quad \forall (x_i, x_j) \in A$$

$O(V)$ que aparece na equação (1) é um número não negativo chamado de valor de fluxo.

Restrições (1) estabelecem que o fluxo que entra no vértice x_i é igual ao fluxo que sai do mesmo vértice. Para os vértices s e t o valor total de fluxo que sai do vértice s é igual a $O(V)$ e é, também, o valor de fluxo que chega ao vértice t .

Restrições (2) estabelecem que o fluxo f_{ij} no arco (x_i, x_j) é sempre menor ou igual a capacidade b_{ij} do arco.

Se se deseja obter o fluxo máximo numa rede, procura-se um conjunto de fluxos de modo que:

$$V = \sum_{x_j \in \Gamma(s)} f_{sj} = \sum_{x_k \in \Gamma^{-1}(t)} f_{kt}$$

seja máximo.

Encontrar o valor de fluxo máximo em qualquer rede é um problema de programação linear com a função objetiva (a ser maximizada) $z = V$ e as restrições (1) e (2). Desde que este é um caso muito especial de programação linear, pode ser resolvido com algoritmos mais eficientes do que o método simplex. Um deles muito conhecido e eficiente é o algoritmo de FORD e FULKERSON [9].

Numa rede pode existir n_s origens e n_t destinos; supõe-se que o fluxo pode ser transferido de qualquer fonte para qualquer destino. Este problema pode ser transformado em uma rede com um vértice inicial e outro terminal.

Ilustração - Determine o fluxo máximo de um vértice inicial s a um vértice final t na rede da Figura III.4. Supõe-se que a capacidade nos arcos n_s, T_j seja igual a infinito (∞).

O primeiro número associado aos arcos é o da capacidade (b_{ij}) e o segundo é o do fluxo no arco (f_{ij}). Verifica-se que este Fluxo tem um valor de 6.

III.2.3 - FLUXO COM CUSTO MÍNIMO EM UMA REDE

Na Secção anterior (III.2.2), um número chamado capacidade foi associado a cada arco. Agora será associado, também, um outro número a cada arco, que é o custo C_{ij} necessário para transportar uma unidade de fluxo ao longo do arco (x_i, x_j) .

O interesse é de transportar um fluxo de valor V de s para t , ao custo mínimo. Se não houvesse a restrição de capacidade, o problema se tornaria o de achar o menor caminho de s para t , e transportar todo o fluxo ao longo desse caminho. É obvio que, o valor de fluxo desejado V não deve ser maior que o do fluxo máximo de s para t , senão, não existiria nenhuma solução. No caso em que o valor de fluxo

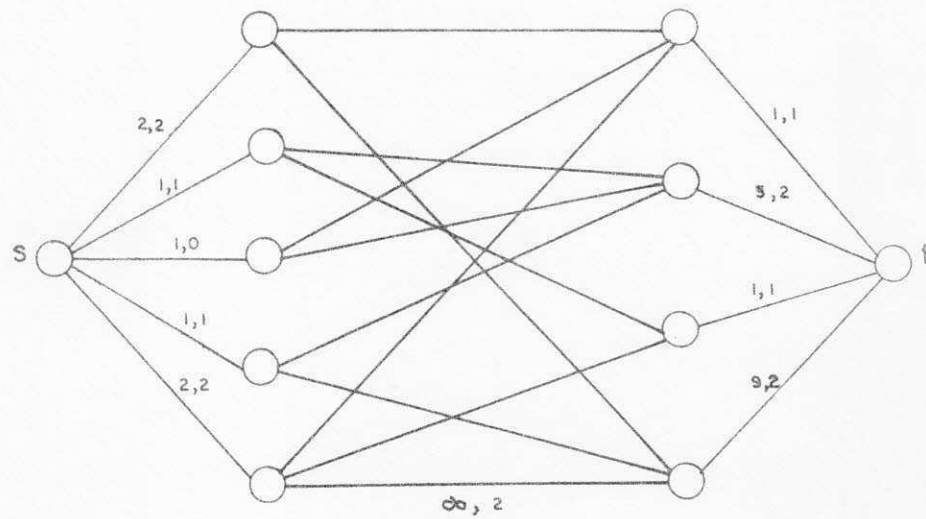


FIGURA III.4 - FLUXO MÁXIMO NUMA RÊDE

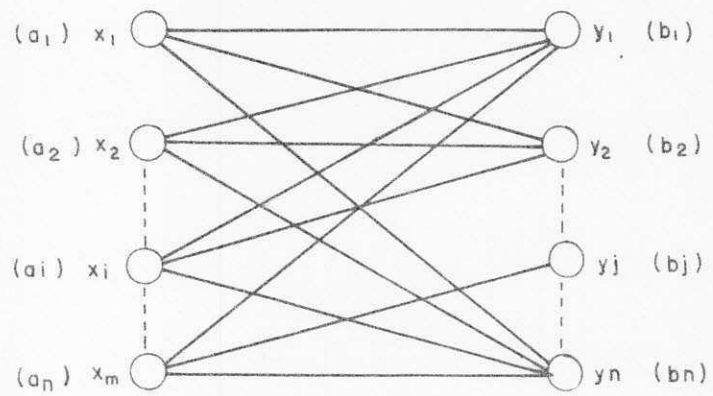


FIGURA III.5 - UMA RÊDE BIPARTIDA

(V) seja menor ou igual ao valor máximo possível, pode-se obter diferentes soluções ótimas.

Portanto, deseja-se transportar um fluxo de valor V com o custo mínimo, ou seja:

$$\text{Min: } z = \sum_{(x_i, x_j) \in A} \sum a_{ij} (f_{ij})$$

sujeito a:

$$\sum_j f_{ij} - \sum_k f_{ki} = \begin{cases} V & \text{se } i = s \\ 0 & \text{se } i \neq s \text{ ou } t \\ -V & \text{se } i = t \end{cases}$$

$$0 \leq f_{ij} \leq b_{ij} \quad \forall (i, j) \in A$$

III.3 - PROBLEMA DE TRANSPORTE

O problema padrão de transporte é aquele que, às vezes, se refere como problema de Hitchcock, que foi um dos seus formuladores. O estabelecimento do problema de Hitchcock que é um caso particular do problema de fluxo com custo mínimo definido na Seção III.2.3, é o seguinte:

Suponha que existem m origens x_1, x_2, \dots, x_m para uma comodidade, com $a(x_i)$ unidades de suplementos em

x_i e n destinos y_1, y_2, \dots, y_n para a comodidade, com uma demanda $b(y_j)$ em y_j . Seja a_{ij} o custo para transportar uma unidade de x_i para y_j , o problema é determinar o fluxo que satisfaz às demandas e minimiza o custo de transporte. O problema é equivalente a:

$$\text{Min: } z = \sum_{i=1}^m \sum_{j=1}^n a_{ij} f_{ij}$$

$$\sum_{j=1}^n f_{ij} \leq a_i \quad (i = 1, 2, \dots, m)$$

$$\sum_{i=1}^m f_{ij} \geq b_j \quad (j = 1, 2, \dots, n)$$

$$f_{ij} \geq 0$$

Ou a achar um fluxo de valor $\sum_{j=1}^n b_j$ e de custo mínimo em uma rede bipartida. (Figura III.6).

Supondo-se que $\sum_{i=1}^m a_i \geq \sum_{j=1}^n b_j$ e que a_i, b_j são inteiros (equivalentemente, presume-se que são racionais).

III.3.1- PROBLEMA DE DESIGNAÇÃO ÓTIMA

O problema de designação ótima pode ser considerado como um caso especial do problema de Hitchcock ou seja:

- número de origens = número de destinos ($m=n$)

- capacidade de cada origem = 1 ($a_i = 1, \dots, m$);
- demanda de cada destino = 1 ($b_j = 1, \dots, n$).

Obter-se-á o modelo da designação que tem o seguinte aspecto:

$$\text{Min: } \sum_{i=1}^n \sum_{j=1}^n a_{ij} f_{ij}$$

$$\sum_{j=1}^n f_{ij} = 1 \quad (i = 1, 2, \dots, n)$$

$$\sum_{i=1}^n f_{ij} = 1 \quad (j = 1, 2, \dots, n)$$

$$f_{ij} \geq 0 \quad (i = 1, 2, \dots, n), (j=1, 2, \dots, n)$$

CAPÍTULO IV

COLETA DE DADOS

IV. 1 - INTRODUÇÃO

Como foi visto no Capítulo II, os dados da pesquisa de (O-D) do Nordeste Brasileiro foram obtidos num trabalho realizado em 6 etapas, sendo que, em cada etapa, foram alocados no máximo 23 Postos, cada Posto com 1 a 2 conjuntos de equipamentos. Utilizou-se no máximo um total de 25 conjuntos de equipamentos. A relação das equipes, etapas e Postos de Pesquisa na Coleta de Dados é apresentada na Tabela IV.1.

Para otimização do tempo de deslocamento de equipamentos entre Postos das diferentes etapas, os dados necessários são os tempos de viagem de cada Posto em cada etapa, e todos os Postos da etapa seguinte.

GRUPOS DE PESQ.	1a ETAPA		2a ETAPA		3a ETAPA		4a ETAPA		5a ETAPA		6a ETAPA	
	POSTO	EST.	POSTO	EST.	POSTO	EST.	POSTO	EST.	POSTO	es.º.	POSTO	EST.
1	01 02	MA			09 10	PI	11 12	PI	46 47	PE	60	
2	07 08	MA	04	MA	05 06	MA	03	MA	31 32	RN		
3	13 14	PI	15	CE			16 17	CE	18 19	CE	20	CE
4					21 22	CE	23 24	CE	25 40	CE PB	37 39	PB
5			42 43	PE	26 27	CE	30 45	RN PE	36 38	PB PB	64 66	AL SE
6			56+	PE	57+	PE			58+	PE	59+	PE
7					51 61	PE AL	54 55		44 48		63 67	AL SE
8					50 62	PE AL	49	PE				
9					41 69	PE BA	73 76	BA	28 29	RN	33 34	RN PB
10			35+	PB	78+	BA	83+	BA	77+	BA	91 92	MG
11					84 86	BA	79 80	BA	65 68	SE	87 90	BA
12					89	BA	88	BA	85	BA	70	BA
13					72	BA	71	BA	81 82	BA	74 75	BA
14									52 53	PE		

TABELA IV.1 - RELAÇÃO DAS EQUIPES, ETAPAS E PÔSTOS DE PESQUISA NA COLETA DE DADOS

os (+) significa que no posto referente precisa-se de dois conjuntos de equipamentos.

A Secção seguinte apresenta os passos do processo de arranjo de dados.

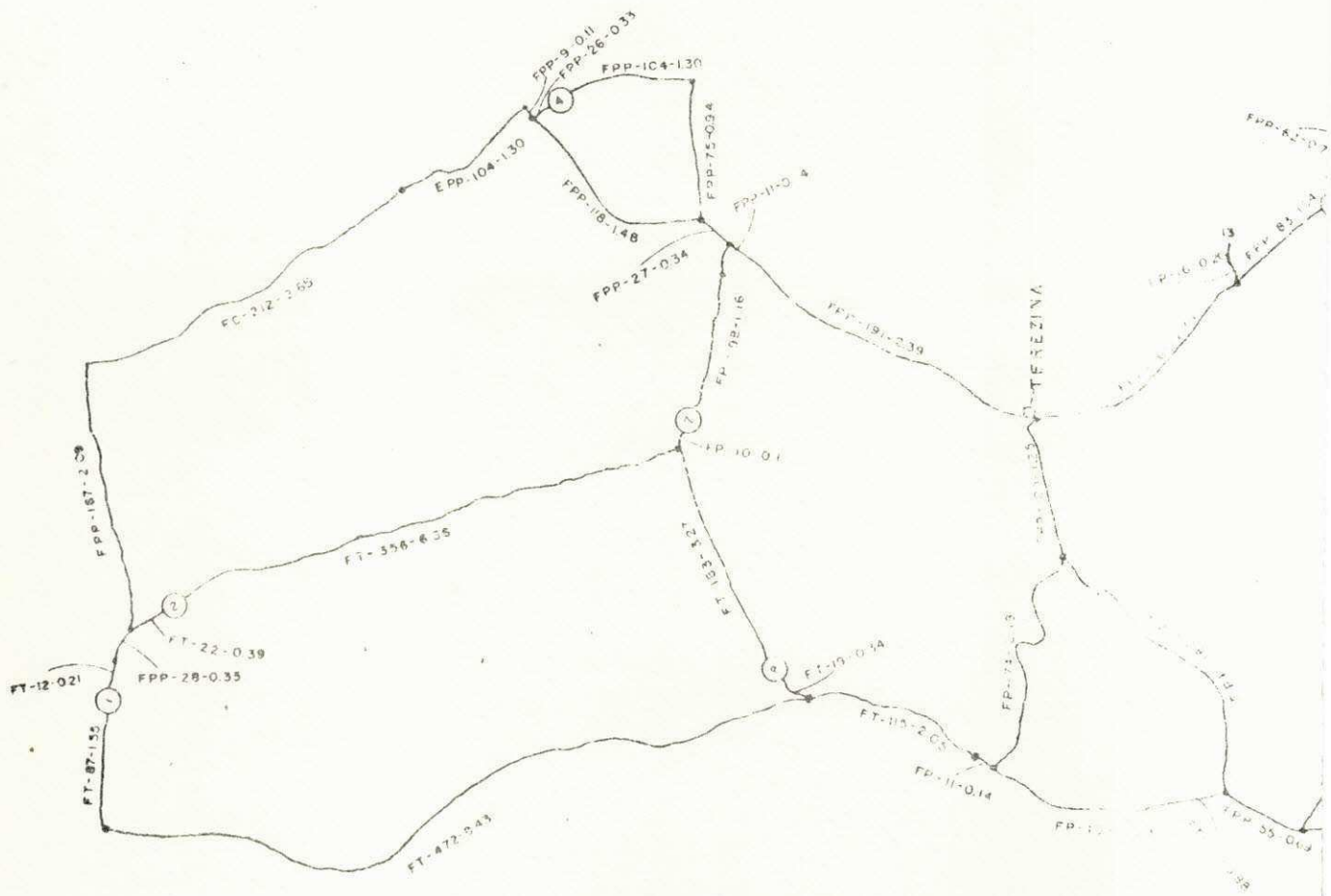
IV.2 - ORGANIZAÇÃO DE DADOS

Para se manipular os dados, inicialmente os Postos de Coleta de Dados foram marcados no mapa do Nordeste Brasileiro, e procedeu-se ao estudo nos passos seguintes:

1º PASSO - Preparou-se as redes viárias, interligando os Postos de cada etapa, por todas as estradas transitáveis, aos postos da etapa seguinte. Estas redes viárias são representadas nos grafos, e mostrados nas figuras (IV.1) a (IV.5).

2º PASSO - Transferiu-se para os gráficos a distância entre todos os pares de vértices adjacentes. (Vértices são os Postos ou pontos de interseção das estradas). Convencionalmente, nos gráficos, foram mostrados os diferentes tipos de estradas (*)

-
- (*) FPP - Estrada Pavimentada Federal
EPP - Estrada Pavimentada Estadual
FP - Estrada em Pavimentação Federal
EP - Estrada em Pavimentação Estadual
FT - Estrada de Terra Federal
ET - Estrada de Terra Estadual



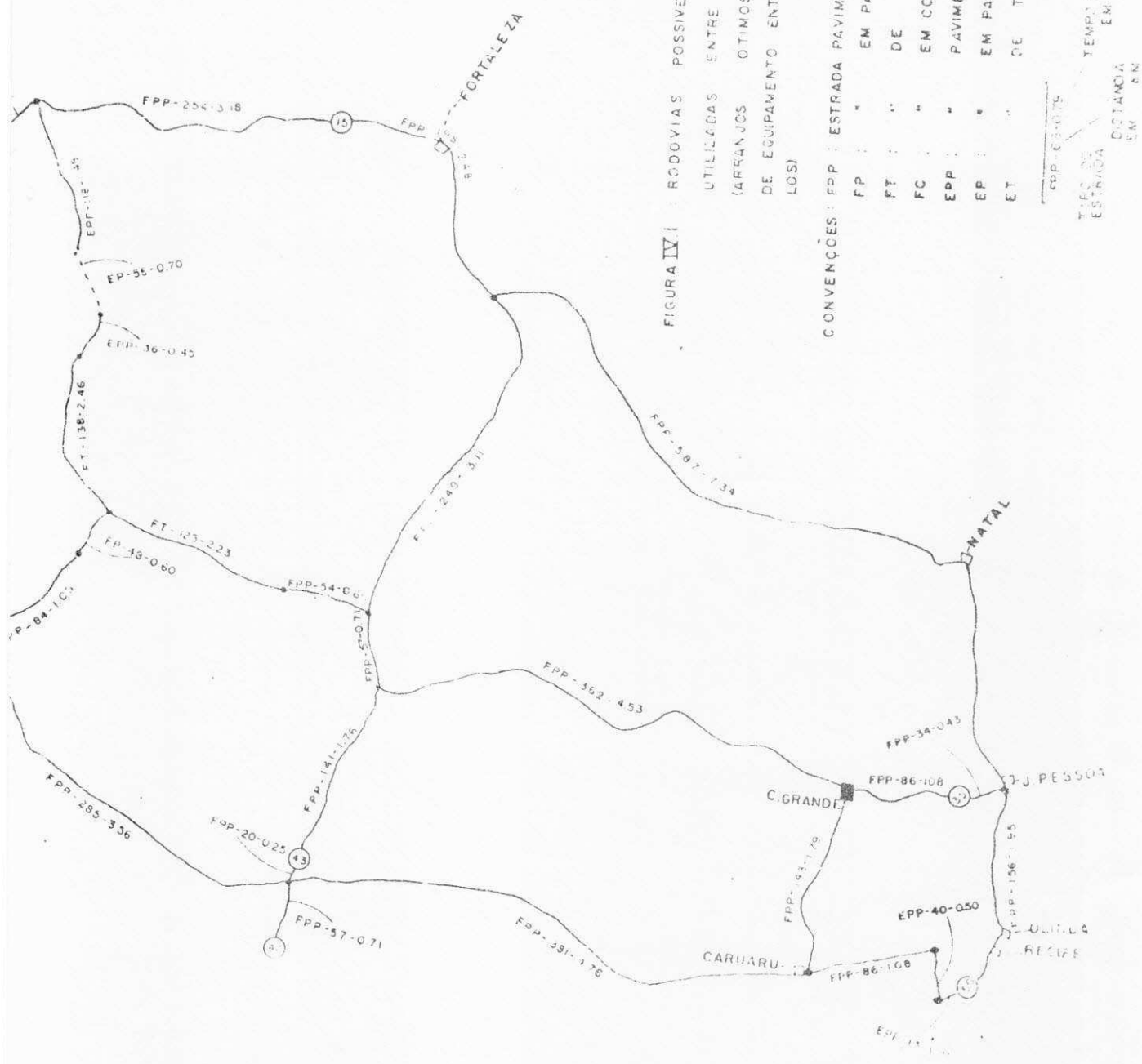
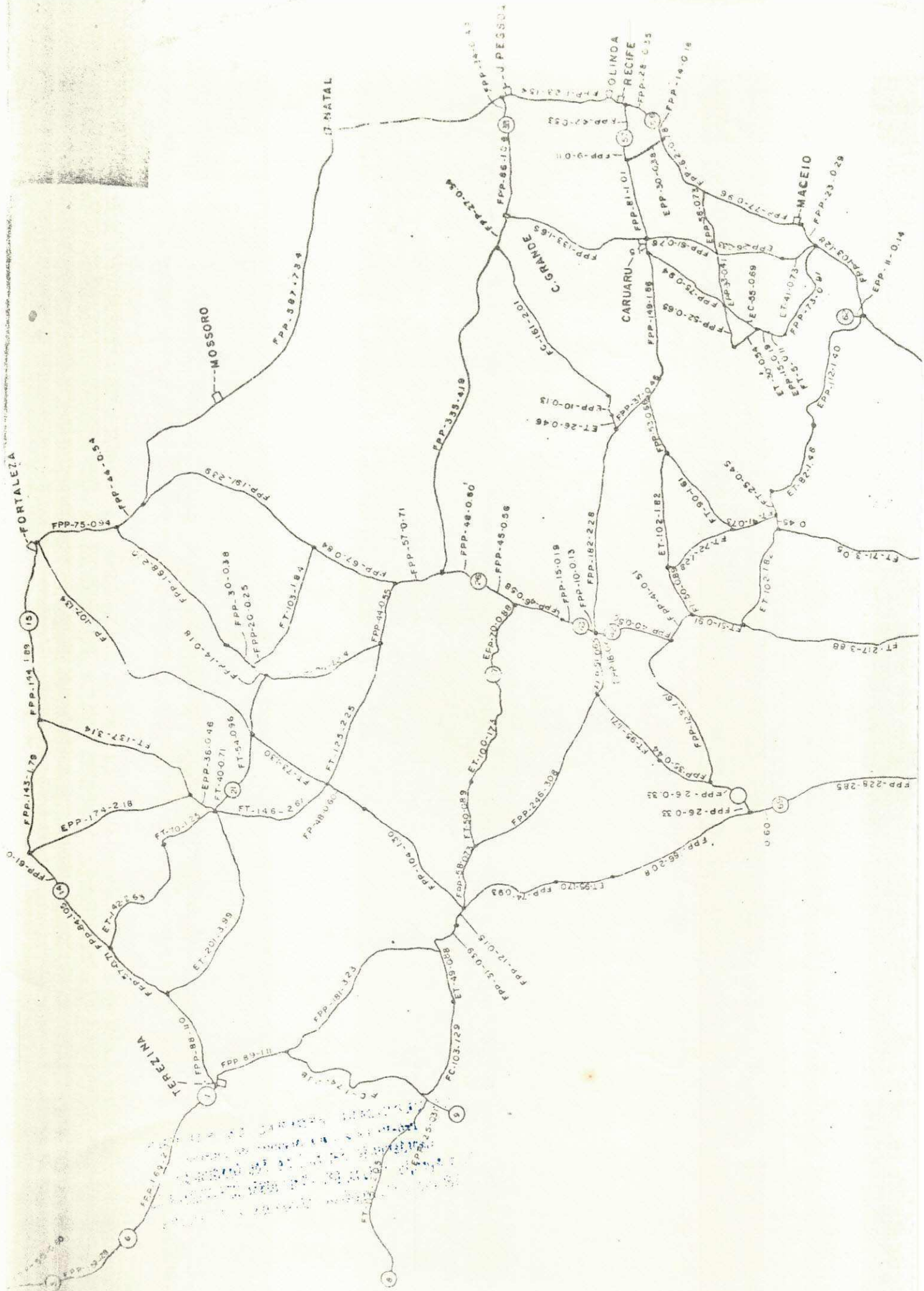


FIGURA IV - RODOVIAS POSSIVEIS DE SEREM UTILIZADAS ENTRE AS ETAPAS 1 e 2 (ARRANJOS OTIMOS DE DESLOCAMENTO DE EQUIPAMENTO ENTRE DIFERENTES PÓS-LOS)

CONVENÇÕES: FPP - ESTRADA PAVIMENTADA FEDERAL
 FT - EM PAVIMENTAÇÃO FEDERAL DE TERRA FEDERAL
 FC - EM CONSTRUÇÃO FEDERAL
 EPP - PAVIMENTADA ESTADUAL
 EP - EM PAVIMENTAÇÃO ESTADUAL DE TERRA ESTADUAL

0 10 20 30 40 50 60 70 80 90 100
 KM
 0 1 2 3 4 5 6 7 8 9 10 11 12 13 14 15 16 17 18 19 20 21 22 23 24 25 26 27 28 29 30 31 32 33 34 35 36 37 38 39 40 41 42 43 44 45 46 47 48 49 50 51 52 53 54 55 56 57 58 59 60 61 62 63 64 65 66 67 68 69 70 71 72 73 74 75 76 77 78 79 80 81 82 83 84 85 86 87 88 89 90 91 92 93 94 95 96 97 98 99 100
 HORAS



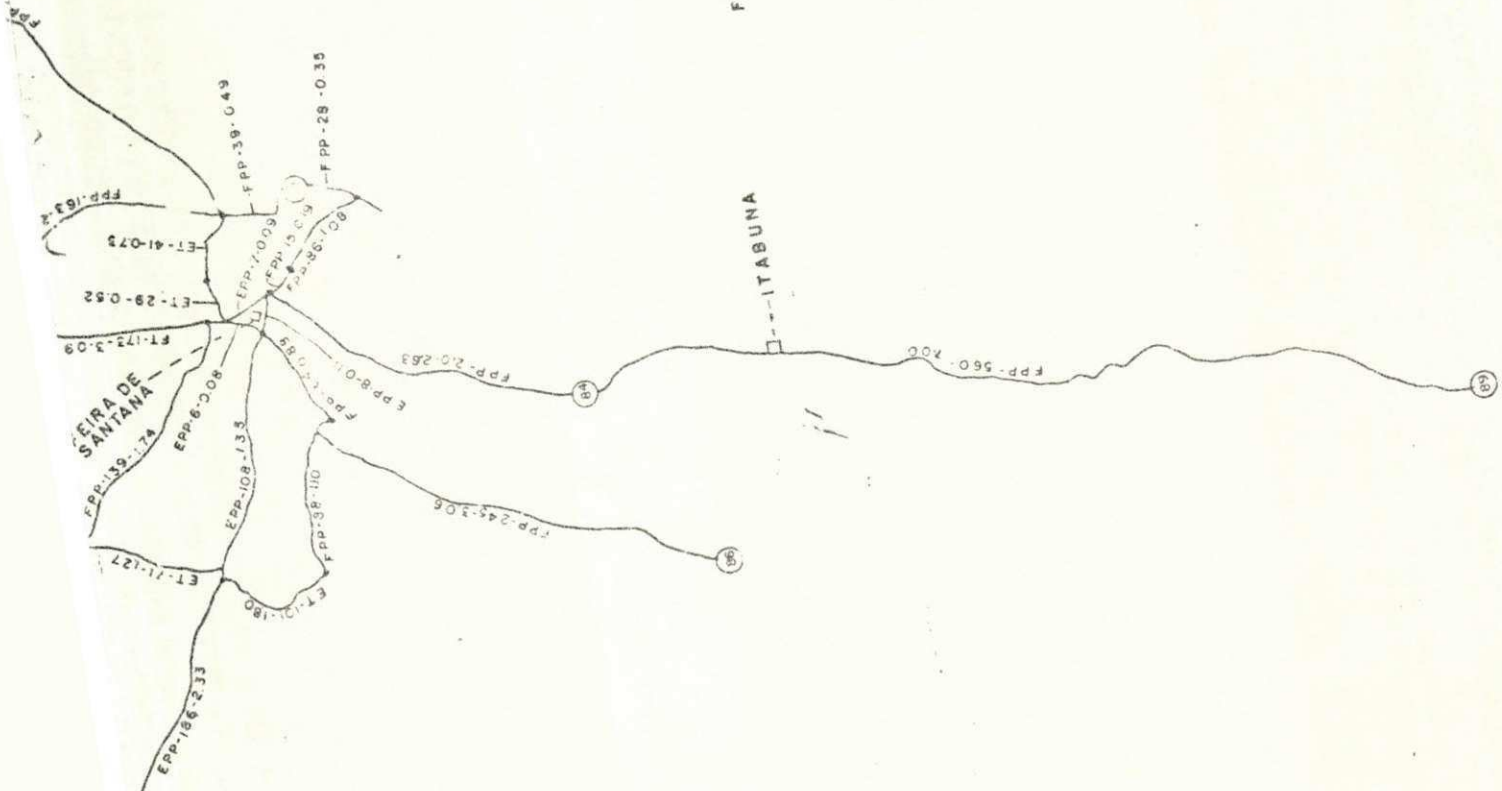


FIGURA IV.2 : RODUVIAS POSSIVEIS DE SEREM UTILIZADAS ENTRE AS ETAPAS 2 e 3 (ARRANJOS ÓTIMOS DE DESLOCAMENTO DE EQUIPAMENTO ENTRE DIFERENTES PÓLOS)

CONVENÇÕES: FPP : ESTRADA PAVIMENTADA FEDERAL
 FP : " " EM PAVIMENTAÇÃO FEDERAL DE TERRA FEDERAL
 FT : " " EM CONSTRUÇÃO FEDERAL
 FC : " " PAVIMENTADA ESTADUAL
 EPP : " " EM PAVIMENTAÇÃO ESTADUAL
 EP : " " DE TERRA ESTADUAL
 ET : " " " " " " " " " " " "

FPP-63-079 : TEMPO DE VIAGEM EM HORA
 TIPO DE ESTRADA : DISTANCIA EM KM

UNIVERSIDADE FEDERAL DA PARAÍBA
 Pró-Reitoria Para Assuntos do Interior
 Coordenação Setorial de Pós-Graduação
 Rua Aprígio Veloso, 882 - Tel (083) 321-7222-R 355
 58.100 - Campina Grande - Paraíba

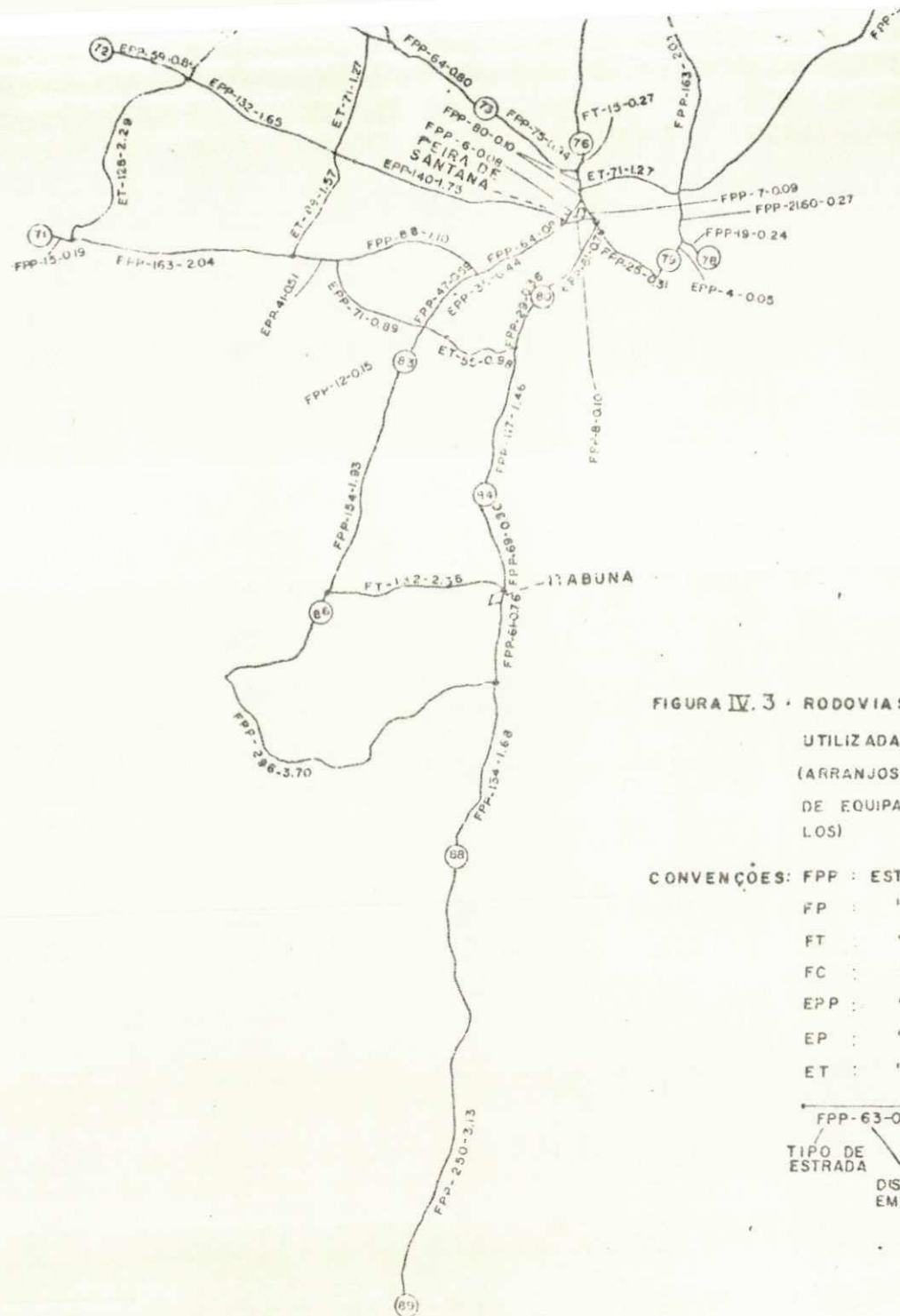
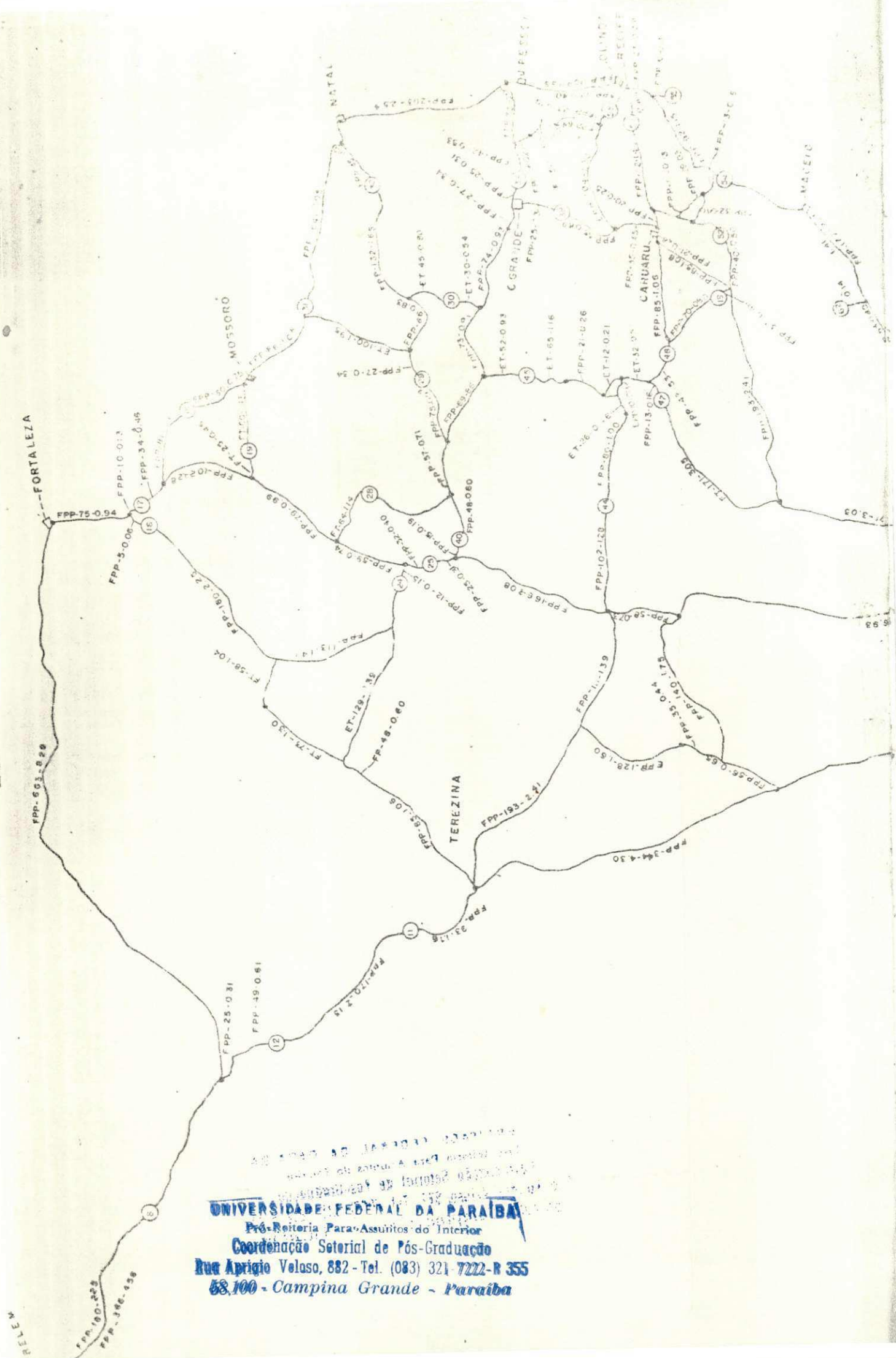


FIGURA IV.3 - RODOVIAS POSSIVEIS DE SEREM UTILIZADAS ENTRE AS ETAPAS 3 e 4 (ARRANJOS ÓTIMOS DE DESLOCAMENTO DE EQUIPAMENTO ENTRE DIFERENTES POLOS)

CONVENÇÕES: FPP : ESTRADA PAVIMENTADA FEDERAL
 FP : " EM PAVIMENTAÇÃO FEDERAL
 FT : " DE TERRA FEDERAL
 FC : " EM CONSTRUÇÃO FEDERAL
 EPP : " PAVIMENTADA ESTADUAL
 EP : " EM PAVIMENTAÇÃO ESTADUAL
 ET : " DE TERRA ESTADUAL

FPP-63-079
 TIPO DE ESTRADA TEMPO DE VIAGEM EM HORA
 DISTANCIA EM KM



UNIVERSIDADE FEDERAL DA PARAIBA
 Pró-Reitoria Para Assuntos do Interior
 Coordenação Setorial de Pós-Graduação
 Rua Aprígio Veloso, 882 - Tel. (083) 321-7222-R 355
 58.100 - Campina Grande - Paraíba

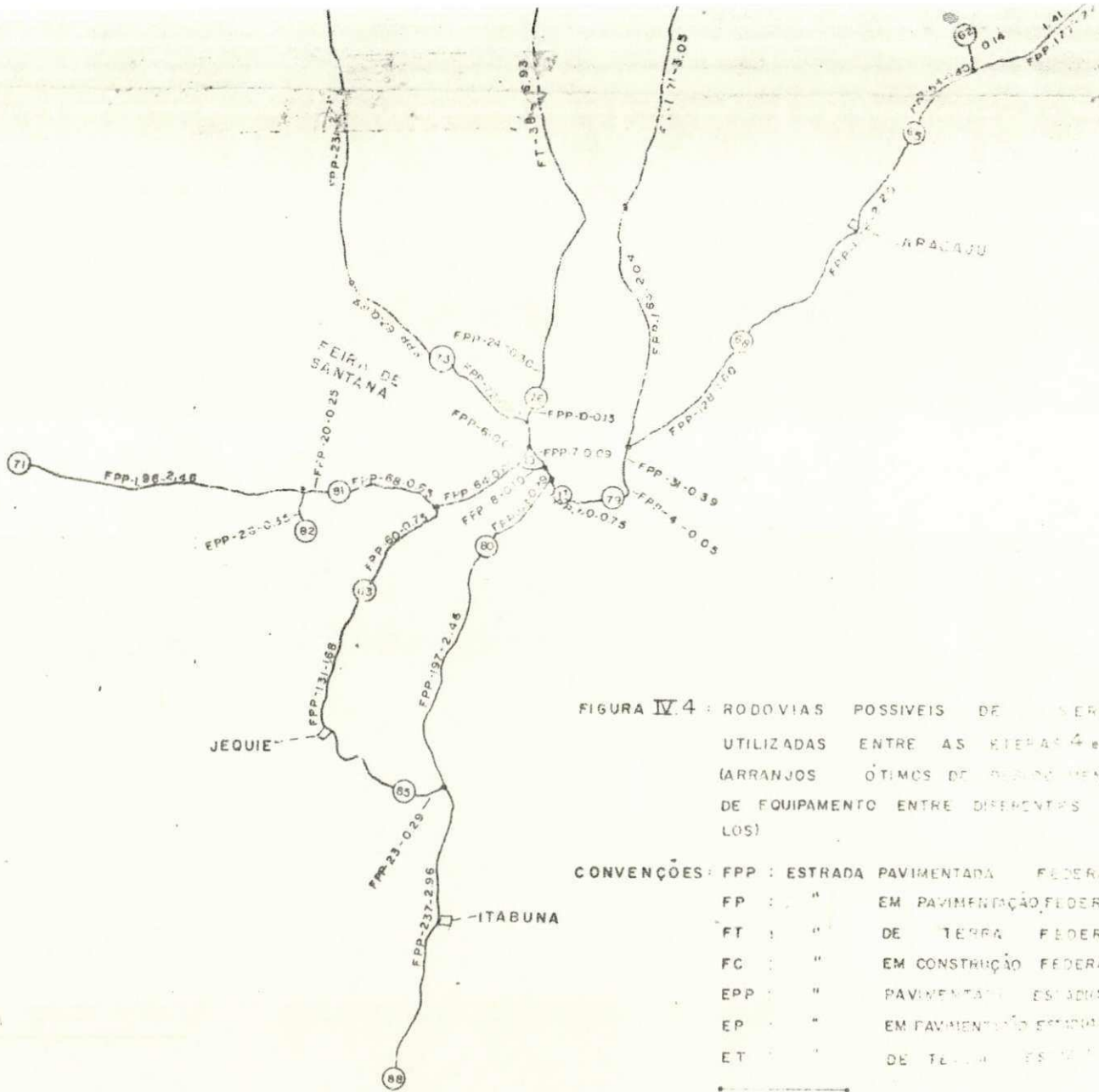
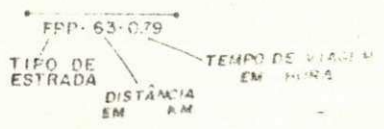


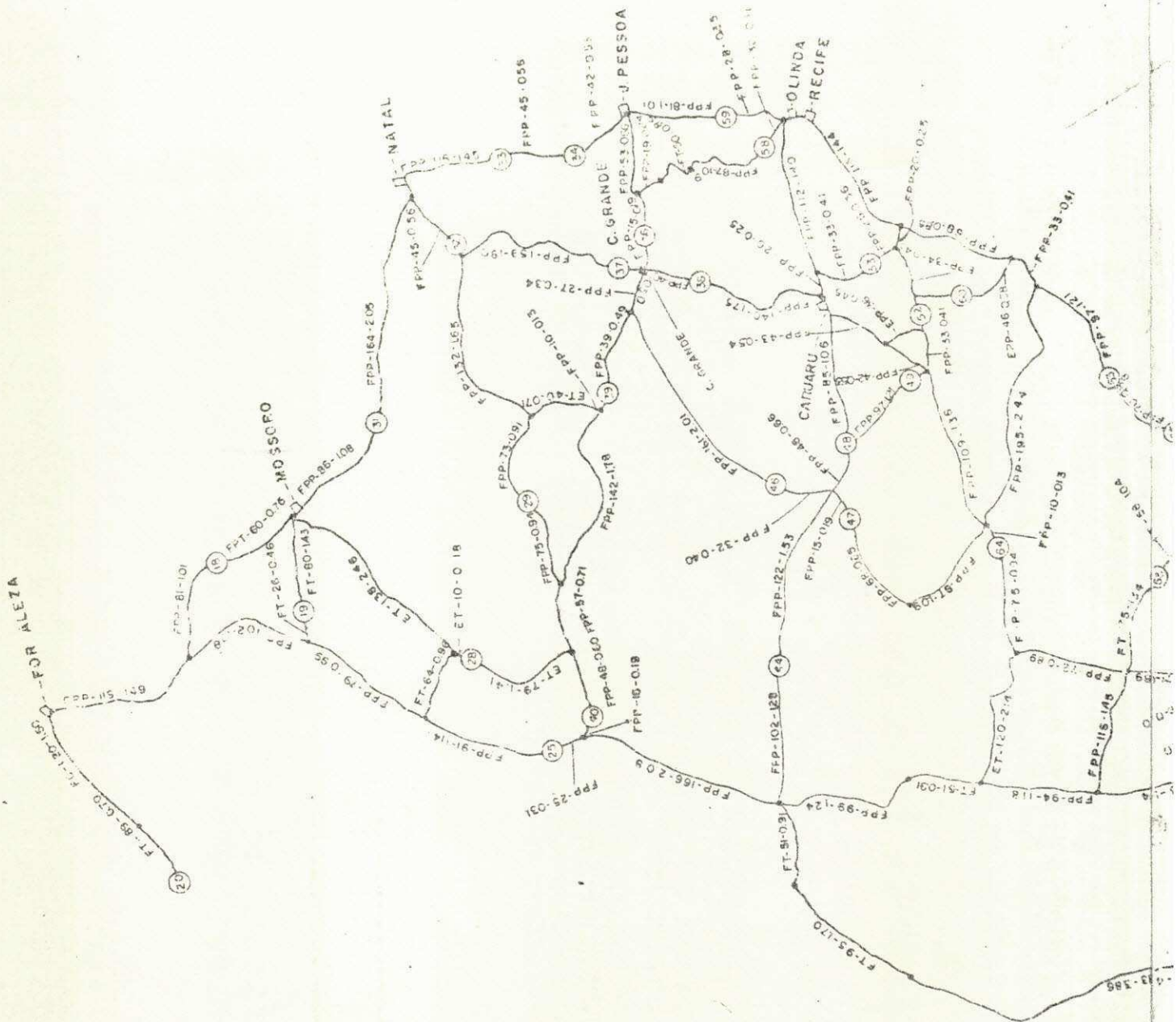
FIGURA IV.4 : RODOVIAS POSSIVEIS DE SEREM UTILIZADAS ENTRE AS ETAPAS 4 e 5 (ARRANJOS ÓTIMOS DE EQUIPAMENTO DE EQUIPAMENTO ENTRE DIFERENTES POLOS)

CONVENÇÕES :

FPP	: ESTRADA PAVIMENTADA FEDERAL
FP	: " EM PAVIMENTAÇÃO FEDERAL
FT	: " DE TERRA FEDERAL
FC	: " EM CONSTRUÇÃO FEDERAL
EPP	: " PAVIMENTAÇÃO ESTADUAL
EP	: " EM PAVIMENTAÇÃO ESTADUAL
ET	: " DE TERRA ESTADUAL



UNIVERSIDADE FEDERAL DA PARAÍBA
 Pró-Reitoria Para Assuntos do Interior
 Coordenação Setorial de Pós-Graduação
 Rua Aprígio Veloso, 882, Tel. (083) 321.7222-R. 355
 58.100 - Campina Grande - Paraíba



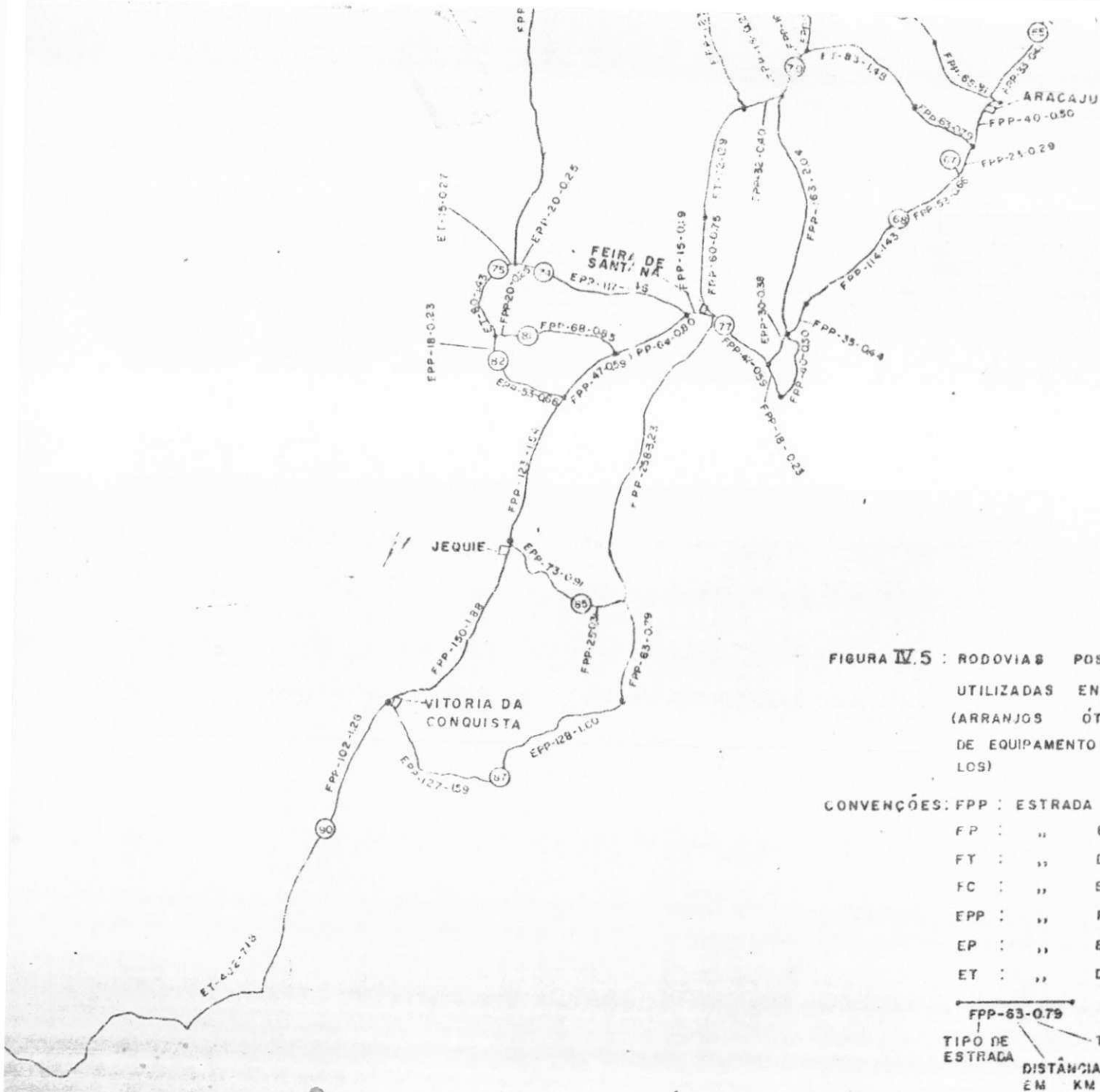


FIGURA IV.5 : RODOVIAS POSSÍVEIS DE SEREM UTILIZADAS ENTRE AS ETAPAS 5 E 6 (ARRANJOS ÓTIMOS DE DESLOCAMENTO DE EQUIPAMENTO ENTRE DIFERENTES PÓLOS)

CONVENÇÕES: FPP : ESTRADA PAVIMENTADA FEDERAL
 FP : " EM PAVIMENTAÇÃO FEDERAL
 FT : " DE TERRA FEDERAL
 FC : " EM CONSTRUÇÃO FEDERAL
 EPP : " PAVIMENTADA ESTADUAL
 EP : " EM PAVIMENTAÇÃO ESTADUAL
 ET : " DE TERRA ESTADUAL



3º PASSO - Para se converter as distâncias em tempo de viagem dividimos estas distâncias pelas velocidades permitidas em cada trecho. A velocidade permitida para estradas Pavimentadas (e em Pavimentação) é de 80 km/h e para estradas de terra de 56 km/h. Os tempos calculados são mostrados nos gráficos (IV.1) a (IV.5).

4º PASSO - Utilizando o algoritmo de FLOYD (Cap. V) obteve-se o tempo total minimizado entre todos os pares de vértices.

5º PASSO - O tempo total de viagem de cada origem a todos os destinos foram tirados dos resultados obtidos do Passo 4. Utilizou-se os resultados desta etapa como dados considerados na pesquisa. Tabelas (IV.2) a (IV.6).

IV.3 - CONSIDERAÇÕES GERAIS

Na fase de manipulação dos dados foram feitas as seguintes considerações:

1 - Devido à existência do grande número de vértices no grafo em questão, e, considerando-se a Capacidade limitada da memória do Computador, alguns deles foram suprimidos ao se entrar com os dados. O cancelamento deles foi feito de acordo com as seguintes condições:

(i) Se, para atingir um ou mais v̄rtices existe apenas um caminho, este ser̄a des_ prezado. Estes v̄rtices n̄o considera - dos pelo Computador foram-no depois, ma_ nualmente quando necess̄ario.

(ii) Muitos v̄rtices que n̄o influenciam na determinaç̄o do tempo total de viagem entre os Postos, foram ignorados.

2 - Outro aspecto levado em conta foi o de que a cidade de Campina Grande ficou considerada como centro de distribuiç̄o de equipamentos.

	04	15	42	43	56	36
67	3.31	10.56	11.30	11.55	17.80	18.62
13	6.75	5.20	10.87	10.21	16.46	15.45
C.G	18.58	10.83	7.25	6.29	3.46	1.08

TABELA IV.2 - TEMPO DA VIAGEM MINIMIZADA ENTRE OS POSTOS
DA PRIMEIRA E SEGUNDA ETAPA

	09	10	05	06	21	22	26	27	57	51	61	50	62	41	69	78	84	86	89	72
04	8.73	9.66	1.54	2.82	10.33	12.71	14.66	13.22	19.98	19.19	20.93	20.01	21.72	14.85	15.12	21.42	22.43	23.65	29.43	21.57
08	2.33	4.31	8.33	7.85	9.12	9.59	9.81	9.37	15.13	14.34	16.08	15.16	16.87	10.00	10.27	16.57	17.58	18.80	24.58	16.72
42	7.90	4.83	12.95	11.67	6.97	5.35	1.89	2.01	5.95	5.18	6.90	5.98	7.23	2.44	3.37	9.67	10.68	11.90	17.68	9.62
43	7.80	4.73	12.85	11.57	6.61	4.99	1.33	1.65	5.85	5.06	6.80	5.88	7.59	2.80	3.73	10.03	11.04	12.26	18.04	10.18
56	13.84	10.77	18.89	17.61	12.44	10.82	7.63	7.95	0.67	2.23	2.46	2.69	3.63	8.84	9.77	10.91	11.92	13.14	18.92	12.98
35	13.97	10.90	19.02	17.74	10.29	8.67	6.21	7.65	2.50	3.83	4.78	4.65	5.95	8.97	9.90	13.23	14.24	15.46	21.24	15.28
03	12.30	8.62	17.34	16.66	9.21	7.59	5.13	6.57	2.78	2.75	3.73	3.57	4.90	7.89	8.82	12.18	13.19	14.41	20.19	14.23
01	12.16	14.71	12.87	11.59	13.08	13.52	19.71	18.27	25.03	24.24	25.98	25.08	26.77	19.90	20.17	26.47	27.48	28.70	34.48	26.62
02	12.14	14.59	11.59	10.31	11.78	12.24	20.99	19.55	26.31	25.52	27.26	26.34	28.05	21.18	21.45	27.75	28.76	29.98	35.76	27.50

TABELA IV.3 - TEMPO DA VIAGEM MINIMIZADO ENTRE OS POSTOS DA SEGUNDA E TERCEIRA ETAPA

	11	12	03	16	17	23	24	30	45	54	55	49	73	76	83	79	80	88	71
09	2.97	2.95	6.50	9.76	10.01	7.76	7.86	11.72	10.22	13.07	13.25	11.23	11.82	13.03	12.02	13.56	16.21	21.96	15.46
10	0.68	3.36	8.91	6.89	7.14	4.89	4.99	8.85	7.35	10.20	10.83	8.36	8.95	10.16	11.71	10.69	13.34	19.09	12.59
05	6.52	4.34	2.27	12.79	12.54	12.29	12.39	16.25	14.75	17.60	17.78	15.76	16.35	17.56	19.11	18.09	20.74	26.49	19.99
15	6.99	7.51	11.76	2.54	2.39	6.30	6.30	9.36	10.16	16.77	15.50	13.62	16.19	17.40	18.95	17.93	20.58	26.33	19.83
14	6.79	4.31	8.56	5.74	5.59	9.50	9.50	12.56	13.36	13.57	12.40	16.82	19.39	20.60	22.15	21.13	23.78	29.53	23.03
21	5.29	7.77	13.32	4.46	4.65	3.75	3.85	8.39	8.01	12.45	12.63	11.45	12.96	14.17	15.72	14.70	17.35	23.10	16.60
22	5.92	8.40	13.95	1.85	2.10	2.30	2.40	6.94	6.56	11.00	11.18	10.00	12.58	13.77	15.32	14.30	16.95	22.70	16.20
26	5.83	8.31	13.86	5.30	5.05	1.96	1.44	3.90	3.52	7.86	8.14	6.18	8.75	9.96	11.51	10.49	13.14	18.89	12.39
27	4.63	7.11	12.66	5.61	5.86	1.46	2.32	5.10	4.72	8.34	8.52	6.50	8.80	10.01	11.56	10.54	13.19	18.94	12.44
51	7.78	10.26	15.81	10.02	9.77	6.24	6.16	4.63	2.47	1.65	2.64	0.51	7.16	8.13	9.21	7.06	10.84	16.59	10.70
61	5.81	8.29	13.84	8.05	7.80	4.27	4.19	3.02	0.50	3.22	3.40	2.59	5.19	6.40	7.95	6.38	9.58	15.33	8.83
50	7.41	9.39	15.44	9.65	9.40	5.87	5.79	4.62	2.10	2.43	3.42	0.99	6.79	7.35	8.43	6.28	10.06	15.81	10.43
62	8.95	9.43	14.98	9.19	8.94	5.41	5.33	4.16	1.64	3.83	4.54	2.39	6.33	5.95	7.03	4.86	8.66	14.41	9.97
41	5.73	8.21	13.76	9.66	9.41	5.87	5.80	8.26	6.25	9.10	9.28	7.26	4.39	5.60	7.15	6.13	8.78	14.53	8.03
69	6.18	8.56	14.21	10.40	10.15	6.61	6.54	9.00	6.99	9.84	10.02	8.00	3.65	4.86	6.41	5.39	8.04	13.79	7.29
78	11.82	14.30	19.34	14.06	13.81	10.28	10.20	9.03	6.51	8.90	9.41	7.46	2.57	1.80	2.98	0.83	4.61	10.36	6.06
84	13.64	16.12	21.67	16.96	16.71	13.18	13.10	11.93	9.41	11.80	12.31	10.36	3.81	3.14	3.03	3.09	1.82	7.07	6.51
86	14.59	17.07	22.55	18.02	17.77	14.24	14.17	12.99	10.47	12.87	3.92	11.42	4.78	4.09	2.00	4.15	3.65	5.52	5.78
89	21.61	21.09	26.64	21.93	21.68	18.15	18.07	16.90	14.38	16.77	17.28	15.33	8.78	8.11	8.00	8.06	6.79	3.13	19.22
72	11.85	14.33	19.88	16.07	15.82	12.28	12.21	13.71	11.19	13.58	14.09	12.14	3.82	4.81	5.63	4.87	7.26	13.01	3.34
C.G	9.33	11.31	8.8	8.3	8.6	5.6	4.6	1.90	3.0	4.1	3.1	3.71	10.36	11.33	12.41	10.26	10.04	19.79	13.90

TABELA IV.4 - TEMPO DA VIAGEM MINIMIZADA ENTRE OS POSTOS DA TERCEIRA E QUARTA ETAPA

UNIVERSIDADE FEDERAL DA PARAÍBA
 Pós-Graduação Para Assuntos do Interior
 Coordenação Setorial de Pós-Graduação
 Rua Aprígio Veloso, 882 Tel (083) 321 7222-R 355
 58.100 - Campina Grande - Paraíba

	46	47	31	32	18	19	25	40	36	38	58	44	48	28	29	77	65	68	85	81	82	52	53
11	8.17	8.10	10.78	12.05	9.28	8.27	6.48	6.98	10.83	10.84	11.83	6.48	8.47	7.96	9.23	10.39	13.85	13.18	13.51	11.93	12.53	10.31	10.30
12	16.20	10.23	12.91	14.18	11.41	10.40	8.61	9.11	12.96	12.96	13.96	8.61	10.60	10.09	11.36	12.52	15.98	15.31	15.64	14.06	14.66	12.44	12.43
13	16.50	15.73	17.21	19.68	15.28	11.90	14.11	14.61	18.46	18.46	19.46	14.11	16.10	15.59	16.66	18.02	21.48	20.81	21.14	19.56	20.16	17.94	17.93
14	13.25	13.48	14.96	17.43	13.13	9.65	11.86	12.36	16.21	16.21	17.21	11.86	13.85	13.34	14.61	15.77	19.23	18.56	18.89	17.31	17.91	15.69	15.68
16	9.36	6.32	3.46	6.07	1.63	2.36	4.03	4.53	9.16	9.16	9.81	7.70	9.69	4.03	5.75	14.48	14.29	16.49	17.60	16.02	1.62	11.40	10.81
17	9.17	9.13	3.27	5.88	1.44	2.17	3.84	4.34	8.97	8.97	9.62	7.51	9.50	3.84	5.56	14.29	14.10	16.30	17.41	15.83	16.43	11.21	10.62
23	6.60	6.76	5.77	7.04	5.08	3.26	1.47	1.97	6.63	6.63	8.91	5.14	7.13	2.95	4.22	11.92	12.03	14.23	15.04	13.46	14.08	8.87	8.28
24	5.88	5.84	4.85	6.12	4.17	2.34	0.56	1.05	5.71	5.72	7.99	4.22	6.21	2.03	3.30	11.00	11.11	13.31	14.12	12.54	13.14	7.95	7.36
33	3.48	4.31	3.58	2.45	5.41	6.09	4.12	3.62	2.12	2.12	4.40	5.17	4.58	4.45	1.97	12.51	7.52	9.72	15.94	14.36	14.96	4.36	3.77
45	1.73	2.36	5.02	4.83	6.85	6.19	3.60	3.10	3.42	3.42	5.70	3.02	2.73	3.93	2.73	11.69	8.11	10.31	15.12	13.54	14.14	4.57	4.56
57	3.77	3.26	6.34	4.86	8.18	8.86	7.55	7.05	2.95	2.39	0.80	4.56	2.57	7.88	6.48	10.00	5.01	7.48	13.43	11.65	12.45	1.25	1.26
54	3.74	3.23	7.58	6.09	9.41	10.09	7.52	7.02	2.98	2.36	2.03	4.53	2.54	7.85	6.45	8.24	3.25	5.45	11.67	10.09	10.69	1.34	0.71
55	4.59	4.08	6.37	4.98	8.20	8.88	8.13	7.63	2.97	3.10	0.82	5.38	3.39	8.46	7.06	9.71	4.72	6.92	13.14	11.56	12.16	2.43	1.80
42	2.08	1.57	8.62	7.49	10.45	9.13	6.54	6.42	3.54	2.92	3.61	2.87	0.68	7.54	6.34	9.15	4.50	6.70	12.58	11.00	11.60	0.98	1.61
62	5.02	5.41	10.44	9.21	12.27	12.49	9.90	9.40	5.36	4.74	5.15	6.71	4.72	10.23	8.83	5.93	3.14	3.14	9.86	7.78	8.38	2.88	3.35
73	9.85	9.78	13.69	14.22	13.69	11.86	9.27	9.15	12.19	11.57	11.45	8.16	10.15	11.18	11.40	1.18	6.17	3.97	4.30	2.72	3.32	9.71	10.13
78	10.57	9.74	14.72	14.74	14.72	12.89	10.30	10.18	11.42	10.60	10.68	9.19	10.43	12.21	12.43	0.41	5.40	3.20	3.53	1.95	2.55	9.64	5.38
83	11.91	11.08	16.31	16.08	16.31	14.48	11.89	11.77	12.76	12.14	12.02	10.78	11.771	3.60	14.02	1.75	6.74	4.54	1.68	1.60	2.20	10.28	10.70
79	9.41	8.56	15.07	13.58	15.62	13.79	11.20	11.08	10.26	9.64	9.52	10.09	9.27	13.11	13.33	0.75	4.24	2.04	4.18	2.60	3.20	7.78	8.20
80	10.95	10.12	15.66	15.12	15.66	13.83	11.24	11.12	11.60	11.18	11.06	10.13	10.81	13.15	13.37	0.79	5.78	3.58	2.75	2.64	3.24	9.32	9.74
89	16.37	15.54	21.08	20.54	21.08	19.25	16.66	16.54	17.22	16.60	16.48	15.55	16.23	16.57	16.79	6.21	11.20	9.00	3.25	6.53	7.13	11.78	12.20
71	14.71	13.85	19.11	18.68	19.11	17.28	14.69	14.57	15.56	14.94	14.82	13.58	14.57	16.60	16.82	4.55	9.54	7.34	5.98	2.70	2.80	13.08	13.50
112	1.28	3.18	5.93	4.28	7.22	7.90	4.65	4.35	0.31	0.31	2.59	4.04	2.77	5.18	3.78	12.51	5.71	7.91	14.13	12.55	13.15	2.55	1.96

TABELA IV.5 - TEMPO DA VIAGEM MINIMIZADA ENTRE OS POSTOS DA QUARTA E QUINTA ETAPA

	80	20	37	33	64	66	59	63	67	33	34	91	92	87	90	70	74	75
28	1.41	10.70	2.64	2.53	2.68	5.93	4.31	5.61	7.68	4.94	4.38	22.04	22.08	13.64	14.50	5.58	9.87	10.39
27	1.20	10.41	3.13	2.35	2.07	5.24	4.19	5.40	7.09	5.53	4.97	21.45	21.49	13.25	13.91	4.98	9.28	9.80
31	8.63	6.53	4.60	5.10	9.80	12.97	5.60	9.86	11.94	3.50	4.06	28.22	28.26	20.02	20.68	12.72	15.18	15.20
32	6.33	9.14	1.99	2.49	7.19	10.36	4.11	8.37	10.45	2.01	2.57	26.57	26.61	18.37	19.03	10.16	14.45	14.67
18	10.46	4.70	6.43	6.83	11.63	12.93	7.43	11.69	13.77	5.33	5.69	27.54	27.58	19.34	20.00	12.28	14.50	14.52
19	10.80	5.43	7.11	6.31	10.05	11.10	8.11	12.37	13.21	6.01	6.57	25.71	25.75	17.51	18.17	10.45	12.67	12.69
25	8.21	7.10	4.74	3.72	7.46	8.51	7.06	10.41	10.62	7.14	6.58	23.12	23.16	14.92	15.58	7.86	10.08	10.10
40	8.09	7.60	4.24	3.22	7.34	8.39	6.56	10.01	10.50	6.64	6.11	23.00	23.04	14.80	15.46	7.74	9.95	9.98
38	4.48	11.68	0.53	1.17	5.35	6.42	2.17	6.43	8.51	2.25	1.69	24.73	24.77	16.53	17.19	8.32	12.61	13.13
38	3.65	11.52	0.69	1.33	4.56	7.73	3.01	5.46	7.54	3.09	2.53	23.94	23.98	15.74	16.40	7.48	11.77	12.29
38	3.03	12.68	3.25	3.89	4.78	7.45	6.75	4.31	6.39	2.85	2.29	23.77	23.81	15.61	16.23	7.70	11.50	12.02
44	4.54	10.77	4.47	4.43	3.97	6.96	5.44	6.74	8.81	6.67	6.31	22.01	22.05	13.81	14.47	6.71	8.97	8.99
48	2.41	12.90	3.54	3.50	2.83	6.00	3.31	4.61	6.69	5.41	4.85	22.24	22.28	14.04	14.70	5.78	10.07	10.59
28	9.01	6.92	5.05	4.03	9.19	10.45	7.37	10.62	12.07	7.22	7.07	25.01	25.05	16.81	17.47	9.71	11.97	11.99
29	6.73	6.85	2.77	1.75	6.91	10.08	5.09	8.54	10.62	4.57	4.61	25.25	25.29	17.05	17.71	9.63	12.21	12.23
77	7.78	16.59	10.86	10.82	5.66	5.17	9.64	5.58	3.50	11.94	11.38	13.92	13.96	5.62	6.38	2.74	1.75	2.27
65	3.08	17.27	7.03	7.67	4.66	2.26	5.14	0.88	1.20	7.24	6.68	18.58	18.62	10.28	11.04	3.38	6.31	6.83
68	4.94	18.81	8.89	9.53	5.94	3.30	7.00	2.74	0.66	9.10	8.54	16.72	16.76	8.42	9.18	3.42	4.59	5.11
85	11.65	20.17	14.53	14.63	9.53	9.04	13.71	9.45	7.37	15.81	15.25	11.61	11.65	2.93	4.07	6.61	5.29	4.77
61	9.72	18.24	12.60	12.56	7.40	6.91	11.78	7.52	5.44	13.88	13.32	13.38	13.42	6.15	5.84	4.48	2.20	1.68
62	10.13	18.64	13.00	12.95	7.60	7.31	12.18	7.52	5.64	14.28	13.72	12.90	12.94	5.67	5.36	4.88	2.18	1.66
62	0.58	14.75	3.78	4.42	2.00	5.17	2.73	2.76	4.84	4.83	4.27	21.38	21.42	13.18	13.84	4.92	9.21	9.73
53	1.32	14.23	3.10	3.74	2.89	6.19	2.16	3.05	5.13	4.26	3.70	22.40	22.44	14.20	14.84	5.94	10.23	10.75

TABELA IV.6 - TEMPO DA VIAGEM MINIMIZADA ENTRE OS POSTOS DA QUINTA E SEXTA ETAPA

CAPÍTULO V

OTIMIZAÇÃO EM REDES

Neste capítulo serão apresentados os algoritmos utilizados para resolver o problema. Inicialmente, apresenta-se o algoritmo de MOORE (13), BELLMAN (1) e FORD (8) para encontrar o menor caminho entre dois vértices especiais - s e t - e o algoritmo de FLOYD (7) para determinar os menores caminhos entre todos os pares de vértices. Em seguida, apresentam-se os algoritmos para detectar circuito negativo existente no grafo e, finalmente, os algoritmos para se determinar um fluxo que obtenha um custo mínimo.

V.1 - MENOR CAMINHO

Em um grafo de arcos ponderados $G = (X, \Gamma)$,

para o qual os custos são representados pela matriz $C = (C_{ij})$ o problema é encontrar o menor caminho de um vértice $s \in X$ a um vértice especial $t \in X$. Considerou-se que $t \in R(s)$ onde $R(s)$ é o conjunto de vértices que pode ser atingido do vértice s . Os elementos C_{ij} da matriz de custo C podem ser positivos, negativos ou nulos, estabelecendo-se que não existe nenhum circuito em G , cujo custo total seja negativo. Se existir um circuito \emptyset e x_i sendo um dos seus vértices, então para se chegar a t , do vértice inicial s , atravessa-se ao longo do circuito \emptyset muitas vezes, e, finalmente, chega-se a t com um custo razoavelmente pequeno ($-\infty$) e o melhor caminho não é unicamente definido.

V.1.1 - MENOR CAMINHO DE s PARA OUTROS VÉRTICES

Considera-se que os elementos da matriz de custo podem ser positivos, negativos ou nulos. O custo negativo associado aos arcos, representa os arcos vantajosos. Para calcular os menores caminhos de um vértice para todos os outros vértices, usa-se um método iterativo, baseado no endereçamento de vértices, onde, no fim da iteração κ , os endereços representam os valores dos menores caminhos que contêm $(\kappa + 1)$ arcos ou menos. O método originalmente foi proposto em 1950 por FORD (8), MOORE (13) e BELLMAN (1).

Descrição - Supõe-se $L^\kappa(x_i)$ o endereço do vértice x_i após a iteração $(\kappa + 1)$.

Inicialização:

Passo 1 - Faz $S = \Gamma(s)$, $\kappa = 1$, $L^1(s) = 0$, $L^1(x_i) = c(s, x_i)$ para tudo $x_i \in \Gamma(s)$ e $L^1(x_i) = \infty$ para todos os outros v\u00e9rtices.

Atualizando os endere\u00e7os:

Passo 2 - Para todos os v\u00e9rtices $x_i \in \Gamma(S)$, ($x_i \neq s$) atualiza-se o endere\u00e7o, de acordo com a seguinte express\u00e3o:

$$L^{\kappa+1}(x_i) = \min \{L^\kappa(x_i), \min_{x_j \in T_i} [L^\kappa(x_j) + C(x_j, x_i)]\} \text{ (Equ. V.1.1)}$$

Onde $T_i = \Gamma^{-1}(x_i) \cap S$. (Portanto os elementos do conjunto S s\u00e3o os v\u00e9rtices de cardinalidade κ no menor caminho). O conjunto T_i cont\u00eam os v\u00e9rtices, no qual o menor caminho de s \u00e9 de cardinalidade κ . (i.e. os elementos do conjunto S). Note-se que se $x_i \in \Gamma(S)$ o menor caminho de s para x_i , possivelmente n\u00e3o pode ser de cardinalidade $\kappa + 1$ e n\u00e3o \u00e9 necess\u00e1rio mudar os endere\u00e7os de x_i , para os v\u00e9rtices $x_i \notin \Gamma(S)$, faz-se $L^{\kappa+1}(x_i) = L^\kappa(x_i)$.

Teste de Finaliza\u00e7\u00e3o:

Passo 3 - (a) se $\kappa \leq n-1$ e $L^{\kappa+1}(x_i) = L^\kappa(x_i)$ para todos os x_i , ent\u00e3o, a solu\u00e7\u00e3o \u00f3tima est\u00e1 atingida e os endere\u00e7os s\u00e3o os custos dos menores caminhos. Pare.

(b) Se $\kappa < n-1$ mas $L^{\kappa+1}(x_i) \neq L^\kappa(x_i)$ para algum x_i , vá para o Passo 4.

(c) Se $\kappa = n-1$ e $L^{\kappa+1}(x_i) \neq L^\kappa(x_i)$ para algum x_i , então um circuito com custo negativo, existe no grafo e não existe solução ótima. Pare.

Passo 4 - Atualize o conjunto S da seguinte maneira:

$$S = \{x_i / L^{\kappa+1}(x_i) \neq L^\kappa(x_i)\}$$

(O conjunto S contém aqueles vértices cujos menores caminhos de s são de cardinalidade $\kappa+1$)

Passo 5 - Faz-se $\kappa = \kappa+1$ e volta-se para o Passo 2.

Desde que os custos dos menores caminhos de s para todos os vértices tenham sido obtidos, aplicando-se a equ. (V.1.2) por diversas vezes, pode-se achar os menores caminhos.

$$L(x_i') + C(x_i', x_i) = L(x_i) \quad (\text{Equ. V.1.2})$$

(x_i' é o vertice precedente ao vertice x_i no menor caminho). Alternativamente, os caminhos podem ser obtidos imediatamente se, se armazenar outro endereço $\theta^\kappa(x_i)$ para cada vértice durante a computação, onde $\theta^\kappa(x_i)$ é o vértice procedente do vértice x_i no menor caminho de s para x_i na iteração κ . Pode-se começar com $\theta^1(x_i) = s \forall x_i \in \Gamma(s)$ e $\theta^1(x_i) = 0$ (arbitrário)

para todos os outros v̄rtices x_j . Os endereços $\theta^k(x_j)$ podem ser atualizados depois da equação (V.1.1). Se o primeiro termo for menor, então, faz-se $\theta^{k+1}(x_j) = \theta^k(x_j)$ ou faz-se $\theta^{k+1}(x_j) = x_j$ se o segundo termo no colchete for menor. No fim do algoritmo, pode se obter o menor caminho de s para x_j na ordem reversa como $s, \dots, \theta^3(x_j), \theta^2(x_j), \theta(x_j)$: Onde $\theta^2(x_j)$ é escrito para $\theta(\theta(x_j))$.

A prova que o resultado obtido é realmente ótimo é baseado no princípio de otimização de programação dinâmica e no fato de que se não existir um caminho ótimo de κ arcos, não pode existir um caminho ótimo de $\kappa+1$ arcos. No caso de um grafo completamente interligado de n v̄rtices, o algoritmo exige uma ordem de n^3 operações (adições e comparações). Vários melhoramentos a esse algoritmo foram feitos por YEN (15), que reduz o esforço computacional por um fator de quatro, mesmo que a dependência em números de v̄rtices no grafo seja cubica.

Ilustração (4) - considere o grafo da Figura (V.1) na qual os ramos serão considerados como dois arcos com custos iguais em qualquer uma das suas direções. Os custos são mostrados junto com os arcos, e contêm números positivos e negativos. Deseja-se determinar o menor caminho de x_1 para todos os outros v̄rtices (supondo que o grafo não contêm nenhum circuito de custo negativo) ou indicando-se se existirem.

O algoritmo procede da seguinte maneira:

Inicialização:

Passo 1 - $s = x_1$, $S = \{x_2, x_5\}$. $L^1(x_2) = -3$, $L^1(x_5) = 2$,
 $L^1(x_i) = \infty$ para todos os outros vértices $x_i \notin S$. Faz-se $\kappa=1$.

Primeira Iteração

Passo 2 - $\Gamma(S) = \{x_2, x_3, x_4, x_5, x_6\}$. Portanto.

Para x_2 : $T_2 = \{x_1, x_5\} \cap \{x_2, x_5\} = \{x_5\}$ e da equ.(V.1.1):

$$\begin{aligned} L^2(x_2) &= \min \left[-3, \{L^1(x_5) + C(x_5, x_2)\} \right] \\ &= \min \left[-3, (2 + 1 + 2) \right] \\ &= -3 \end{aligned}$$

Para x_3 : $T_3 = \{x_2, x_7, x_8, x_4\} \cap \{x_2, x_5\} = \{x_2\}$

$$L^2(x_3) = \min \left[\infty, (-3 - 5) \right]_{x_j=x_2} = -8$$

Para x_4 : $T_4 = \{x_2, x_3, x_5, x_7, x_9\} \cap \{x_2, x_5\} = \{x_2, x_5\}$

$$L^2(x_4) = \min \left[\infty, \min \{(-3 + 15), (2 - 7)\} \right]_{\substack{x_j=x_2 \\ x_j=x_5}} = -5$$

Para x_5 : $T_5 = \{x_1, x_2, x_6\} \cap \{x_2, x_5\} = \{x_2\}$

$$L^2(x_5) = \min \left[2, (-3 + 12) \right]_{x_j=x_2}$$

Para x_6 : $T_6 = \{x_4, x_5, x_7, x_9\} \cap \{x_2, x_5\} = \{x_5\}$

$$L^2(x_6) = \min_{x_j = x_5} \left[\infty, (2+20) \right] = 22$$

Agora os endereços são $\left[0, -3, -8, -5, 2, 22, \infty, \infty, \infty \right]$ para $x_i = x_1, x_2, \dots, x_9$ respectivamente.

Passo 3 (b) - \bar{v} para o passo 4

Passo 4 - $S = \{x_3, x_4, x_6\}$

Passo 5 - $\kappa = 2$, \bar{v} para o Passo 2

Segunda Iteração

Passo 2 - $\gamma(S) = \{x_1, x_3, x_4, x_5, x_6, x_7, x_8, x_9\}$;

Para x_3 : $T_3 = \{x_2, x_4, x_7, x_8\} \cap \{x_3, x_4, x_6\} = \{x_4\}$

$$L^3(x_3) = \min_{x_j = x_4} \left[-8, (-5 + 8) \right] = -8$$

Para x_4 : $T_4 = \{x_2, x_3, x_5, x_7, x_9\} \cap \{x_3, x_4, x_6\} = \{x_3\}$

$$L^3(x_4) = \min_{x_j = x_3} \left[-5, (-8 + 8) \right] = -5$$

Para x_5 : $T_5 = \{x_1, x_2, x_6\} \cap \{x_3, x_4, x_6\} = \{x_6\}$

$$L^3(x_5) = \min_{x_j = x_6} \left[2, (22 + 20) \right] = 2$$

$$\text{Para } x_6 : T_6 = \{x_4, x_5, x_7, x_9\} \cap \{x_3, x_4, x_6\} = \{x_4\}$$

$$L^3(x_6) = \min \left[22, (-5 + 18) \right]_{x_j = x_4} = 13$$

$$\text{Para } x_7 : T_7 = \{x_4, x_6, x_8\} \cap \{x_3, x_4, x_6\} = \{x_4, x_6\}$$

$$L^3(x_7) = \min \left[\infty, \min \left\{ \begin{array}{l} (-5 + 4) \\ x_j = x_4 \end{array} \right\}, \begin{array}{l} (22 + 9) \\ x_j = x_6 \end{array} \right] = -1$$

$$\text{Para } x_8 : T_8 = \{x_3, x_7\} \cap \{x_3, x_4, x_6\} = \{x_3\}$$

$$L^3(x_8) = \min \left[\infty, (-8 + 24) \right]_{x_j = x_3} = 16$$

$$\text{Para } x_9 : T_9 = \{x_4, x_8\} \cap \{x_3, x_4, x_6\} = \{x_4\}$$

$$L^6(x_9) = \min \left[\infty, (-5 + 11) \right]_{x_j = x_4} = 6$$

Os endereços $L^3(x_i)$ são $[0, -3, -8, -5, 2, 13, -1, 16, 6]$

para x_1, x_2, \dots, x_9 , respectivamente.

Passo 3 (b) - \bar{v}_a para o passo 4

Passo 4 - $S = \{x_6, x_7, x_8, x_9\}$

Passo 5 - $\kappa = 3$, \bar{v}_a para o passo 2

E T C.

Continuando, dessa maneira, obtêm-se os seguintes resultados:

Terceira Iteração

$$\text{Passo 2} - \Gamma(S) = \{x_3, x_4, x_5, x_6, x_7, x_8, x_9\}$$

$$T_3 = \{x_7, x_8\}, \quad L^4(x_3) = -11$$

$$T_4 = \{x_7, x_9\}, \quad L^4(x_4) = -5$$

$$T_5 = \{x_6\}, \quad L^4(x_5) = 2$$

$$T_6 = \{x_7, x_9\}, \quad L^3(x_6) = -7$$

$$T_7 = \{x_6, x_8\}, \quad L^4(x_7) = -1$$

$$T_8 = \{x_7\}, \quad L^4(x_8) = 15$$

$$T_9 = \{x_8\}, \quad L^4(x_9) = 6$$

Portanto, o vetor dos endereços $L^4(x_i)$ é:

$$\left[0, -3, -11, -5, -7, 2, -1, 15, 6 \right].$$

$$\text{Passo 4} - S = \{x_3, x_6, x_8\}$$

Quarta Iteração

$$\text{Passo 2} - \Gamma(S) = \{x_3, x_4, x_5, x_7, x_8, x_9\}$$

$$T_3 = \{x_8\}, \quad L^5(x_3) = -11$$

$$T_4 = \{x_3\}, \quad L^5(x_4) = -5$$

$$T_5 = \{x_6\}, \quad L^5(x_5) = 2$$

$$T_7 = \{x_6, x_8\}, \quad L^5(x_7) = -1$$

$$T_8 = \{x_3\}, \quad L^5(x_8) = 13$$

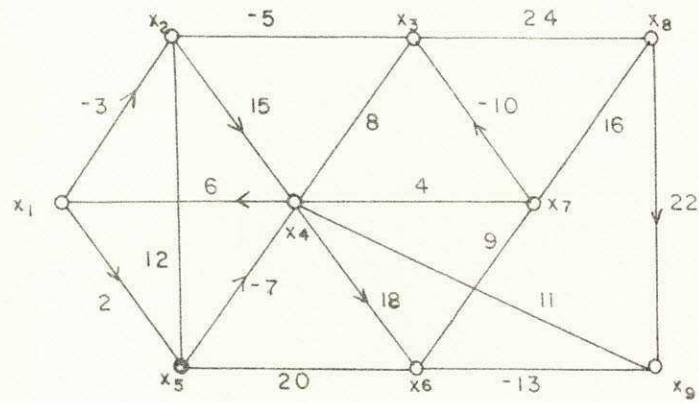


FIGURA V.1 - GRAFO PARA ILUSTRAÇÃO I

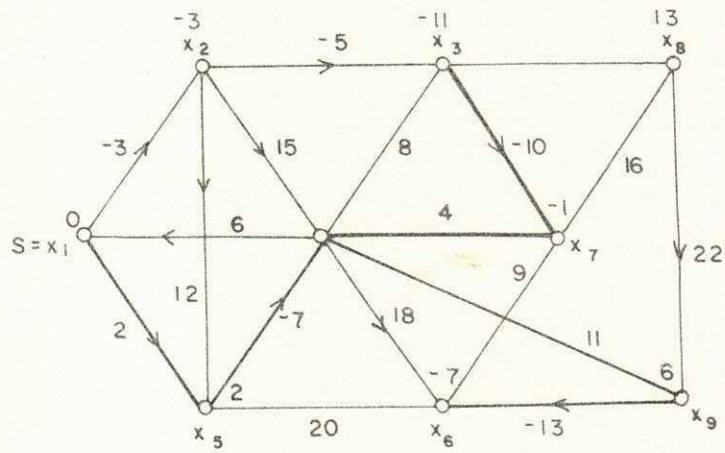


FIGURA V.2 - OS ENDEREÇOS FINAIS DOS VÉRTICES

$$T_9 = \{x_8\}, \quad L^5(x_9) = 6$$

Então o valor dos endereços é: $[0, -3, -11, -5, 2, -7, -1, 13, 6]$

Passo 4 - $S = \{x_8\}$

Quinta Iteração

Passo 2 - $\Gamma(S) = \{x_3, x_7, x_9\}$

$$T_3 = \{x_8\}, \quad L^6(x_3) = -11$$

$$T_7 = \{x_8\}, \quad L^6(x_7) = -1$$

$$T_9 = \{x_8\}, \quad L^6(x_9) = 6$$

Passo 3 (a) - Pare.

O valor dos $L^6(x_i)$ é o mesmo que $L^5(x_i)$ e, por isso, esses são os custos do menor caminho (Fig. V.2).

V.1.2 - MENORES CAMINHOS ENTRE TODOS OS PA RES DE VÉRTICES (ALGORITMO DE FLOYD)

Supõe-se que a matriz do custo tenha sido inicializado de maneira que $C_{ii} = 0$ para $i = 1, 2, \dots, n$, e $C_{ij} = \infty$, quando o arco (x_i, x_j) não esteja no grafo.

Inicialização

Passo 1 - faz-se $\kappa = 0$

Iteração 1

Passo 2 - $\kappa = \kappa + 1$

Passo 3 - Para todo $i \neq \kappa$ quando $C_{i\kappa} \neq \infty$ e para todo $j \neq \kappa$, quando $C_{\kappa j} \neq \infty$, efetua-se a seguinte operação

$$C_{ij} = \min \left[C_{ij}, (C_{i\kappa} + C_{\kappa j}) \right] \quad (\text{Equ. V.1.3})$$

Teste de Terminação

Passo 4 (a) Se qualquer $C_{ij} < 0$, isto significa que um circuito com custo negativo, contendo o vértice x_i existe no grafo. Portanto não se pode obter uma solução ótima. Pare.

(b) Se todo $C_{ij} \geq 0$ e $\kappa = n$, a solução tinha sido atingida, e $[C_{ij}]$ dará o tamanho de todos os menores caminhos. Pare.

(c) Se todo $C_{ij} \geq 0$, mas $\kappa < n$ volte para o passo 2 e continue.

Os vértices dos menores itinerários podem ser obtidos dos tamanhos em menores caminhos, utilizando-se uma relação similar à equação (V.1.2).

Esse último método é parecido com o da Secção (V.1.1) e, geralmente, é utilizado, quando se deseja determinar a seqüência dos vértices no circuito negativo existente no grafo. A técnica implica em armazenar uma outra matriz ($n \times n$) a matriz $\theta = [\theta_{ij}]$. A entrada θ_{ij} significa que

θ_{ij} é o vértice antecedente do vértice x_j no menor caminho de x_i para x_j . Inicializa-se a matriz de tal modo que $\theta_{ij} = x_i$ para todo x_i e x_j .

Acompanhamento de equação (V.1.2), no Passo 3 pode-se atualizar a matriz θ como se segue:

$$\theta_{ij} = \begin{cases} \theta_{kj}, & \text{se } (C_{ik} + C_{kj}) < C_{ij} \\ \text{Sem mudar,} & \text{se } C_{ij} \leq (C_{ik} + C_{kj}) \end{cases}$$

(no colchete da Equ. V.1.3)

Finalmente, pode-se obter os menores caminhos da matriz final de θ . Entretanto se se desejar o menor caminho entre qualquer dos dois vértices x_i e x_j e, esse caminho é dado pela seqüência dos vértices:

$$x_i, x_v, \dots, x_\gamma, x_\beta, x_\alpha, x_j$$

Onde $x_\alpha = \theta_{ij}$, $x_\beta = \theta_{ix}$, $x_\gamma = \theta_{i\beta}$ etc. até que $x_i = \theta_{iv}$

Inicialmente, todos os elementos da diagonal principal na matriz do custo (C_{ij}) são iguais a (∞). Os valores finais de C_{ij} serão o custo do menor circuito através do vértice x_i . Facilmente, pode-se ver que a condição de matriz θ na iteração em que C_{ij} tornou-se negativa identifica o circuito negativo, correspondente àquele vértice (x_i). A ilustração deste algoritmo virá no item (V.3.2).

V.2 - MÉTODO DA PESQUISA DIRETA PARA DETETAR O CIRCUITO NEGATIVO DA REDE (6)

O propósito dessa Secção é introduzir um método para localizar os circuitos negativos no grafo. Este método é baseado em propriedade de somatórios parciais negativos numa seqüência finita.

V.2.1 - DESCRIÇÃO DO ALGORITMO

Supõe $C' = (C'_{ij})$ seja a matriz do custo para o grafo direcionado $G(X, A)$

Esse procedimento de pesquisa começa de um vértice, e constrói uma progressão de arcos com o custo negativo.

Se um somatório de custos não pode ser mantido, esse vértice é abandonado e da mesma forma outro vértice é considerado. Esse procedimento é repetido até que um circuito negativo seja alocado. Se um circuito negativo não existir no grafo, ainda todos os vértices são tratados.

Faz-se, Open, Cycle e Value vetores de n posições.

Passo 1 - $i = 1$

Passo 2 - $\text{Cycle}(j) = \text{value}(j) = 0$ ($j = 1, 2, \dots, n$)
 $\text{Open}(i) = 1$

Passo 3 - $\text{Open}(i) = \text{value}(l) = 0$
 $\text{Cycle}(l) = i$
 $l = s = 1,$
 $u = i$

Passo 4 - Pesquisar na linha u da coluna s até a coluna n ,
 e achar o menor índice v de maneira que:

$$\text{Val} \equiv \{\text{Open}(v) \cdot [\text{value}(l) + C(u, v)]\} < 0$$

Se, na pesquisa houver sucesso, v para (7)

Passo 5 - Adicionar um novo ponto no circuito, faz-se

$\text{Open}(u) = 0$
 $l = l + 1$
 $\text{Cycle}(l) = u, \text{value}(l) = \text{val}$

Passo 6 - Verificar se o circuito pode ser completo. Faz-se

$\omega = \text{Cycle}(l)$
 Se $\text{Value}(l) + C(u, \omega) < 0$. Pare.
 O circuito é completo.
 Se não se faz $s = l$ e volta para o Passo (4)

Passo 7 - O circuito não pode ser extendido, "back truck"

(a) Se $l = 1$, v para o Passo (8), se não se deve
 fazer

$s = \text{Cycle } (l)$

Value $(l) = 0$, Open $(s) = 1$

(b) Se $s = n$, vá para (7C) se não, deve-se fazer:

$s = s + 1$

$l = l + 1$

$V = \text{Cycle } (l)$ e volta para o Passo (4)

(C) deixa $l = l - 1$ e volta para (7a)

Passo 8 - Se $i = n$. Pare.

O grafo não tem circuito negativo. Se não, se faz $i = i + 1$ e volta para (2). Se $G(X, A)$ houver circuito negativo, no fim da computação, $\text{Cycle } (j)$, $j = 1 \dots l$ são os vértices do circuito alocado.

V.3 - FLUXO COM CUSTO MÍNIMO EM UMA REDE

Para se determinar um fluxo que possua um custo mínimo, vários algoritmos foram desenvolvidos de modo que, utilizem o método primal-dual de programação linear. Estes são discutidos por FORD e FULKERSON (9).

Serão apresentados a seguir dois algoritmos que não utilizam os conceitos de programação linear, porém são muito eficientes em termos de computação.

V.3.1 - ALGORITMO DE BUSACKER E GOWEN (7)

Passo 1 - Inicia-se com todos os arcos tendo-se um fluxo igual a zero.

Passo 2 - Definir os custos modificados C_{ij}^* com respeito ao fluxo dado que existe na rede, da seguinte maneira:

$$C_{ij}^* = C_{ij} \text{ se } 0 \leq f_{ij} < b_{ij}$$

$$C_{ij}^* = \infty \text{ se } f_{ij} = b_{ij}$$

$$C_{ij}^* = -C_{ji} \text{ se } f_{ji} > 0$$

Passo 3 - Encontra-se o menor caminho ou o caminho do menor custo de N_s para N_t usando os custos modificados C_{ij}^* obtida no Passo 2. Então, transporte-se um fluxo igual a δ onde $\delta = \min(b_{ij} - f_{ij}, f_{ji})$ ao longo deste caminho até que o roteiro não seja mais o caminho de menor custo.

Substitui-se o valor de fluxo antigo pelo valor de fluxo antigo, mais o fluxo ao longo deste caminho. Se o novo fluxo tiver o valor V , Pare. Caso contrário, retorne ao Passo 2.

Este algoritmo tem a propriedade de que: quando o fluxo no Passo (3) é P , fornece o fluxo de custo mínimo de P unidades de s para t . Sendo assim, obtém-se o fluxo de custo mínimo para $P = 1, 2, \dots, V$.

Ilustração (10) - Considere-se a rede da Figura (V.3), com as respectivas demandas em cada vértice. Deseja-se enviar 2 unidades de fluxo de N_s para N_t com custo mínimo.

Passo 1 - Faz-se $f_{ij} = 0$

Passo 2 - Definir $C_{ij}^* = C_{ij}$

Passo 3 - Determinar o menor caminho de N_s para N_t , utilizando a matriz do custo modificado. Pode-se obter um desses caminhos (N_s, x_1, x_2, N_t) ou (N_s, x_3, x_2, N_t) . Escolhendo o primeiro caminho, teremos:

Passo 2 - $C_{s1}^* = \infty$, conforme $f_{s1} = 1 = b_{s1} = 1$,

$$C_{1s}^* = -1$$

$$C_{12}^* = \infty, \text{ conforme } f_{12} = 1 = b_{12},$$

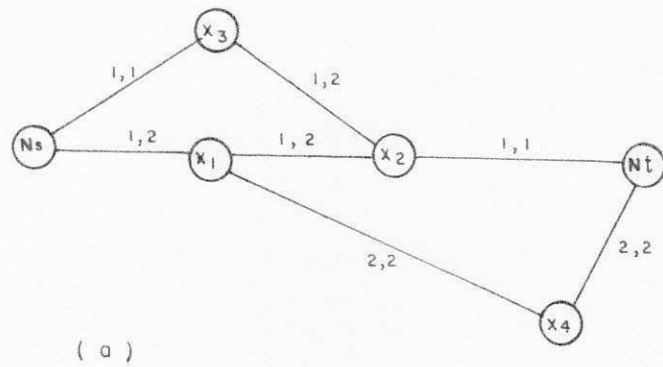
$$C_{21}^* = -2$$

$$C_{2t}^* = \infty, \text{ conforme } f_{2t} = 1 = b_{2t},$$

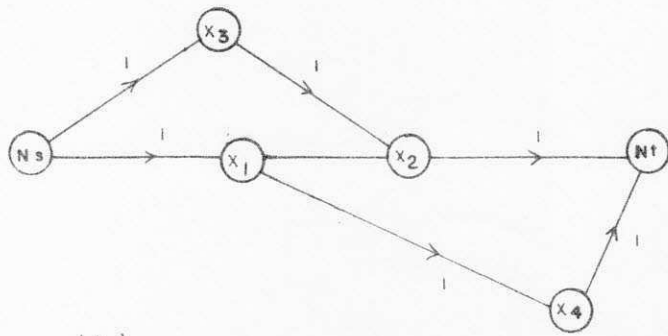
$$C_{t2}^* = -1$$

Para os outros arcos teremos $C_{ij}^* = C_{ij}$.

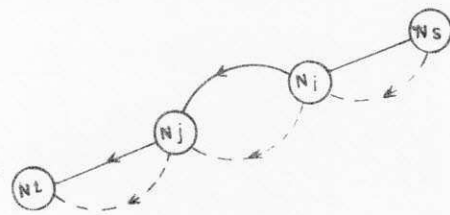
Passo 3 - Encontrando o menor caminho com custo modificado, obteremos o menor caminho $(N_s, x_3, x_2, x_1, x_4, N_t)$ com o custo total $1 + 2 + (-2) + 2 + 2 = 5$. Transporta-se uma unidade de fluxo ao longo desse cami-



(a)



(b)



(c)

FIGURA V.3 - FLUXO COM CUSTO MÍNIMO

nho e, obtêm-se os fluxos finais na rēde da (Fig. V.3.b) na qual os nūmeros indicam os fluxos em arcos.

V.3.2 - ALGORITMO DE KLEIN (11)

Passo 1 - Encontra-se algum fluxo possīvel de V unidades de N_s para N_t . Isto pode ser feito por tentativa, ou, entāo, usando-se o algoritmo para a determinaçāo do fluxo māximo. FORD e FULKERSON (9).

Finaliza-se quando ē encontrado o valor V .

Passo 2 - Definem-se os custos modificados C_{ij} como se se-
guem:

$$C_{ij}^* = C_{ij} \text{ se } f_{ij} < b_{ij} \quad (0 \leq f_{ij})$$

$$C_{ij}^* = \infty \text{ se } f_{ij} = b_{ij}$$

$$C_{ij}^* = -C_{ji} \text{ se } f_{ji} > 0$$

Passo 3 - Usando C_{ij}^* como distāncia, encontre-se circuitos negativos na rede. Se nāo existir, o fluxo corrente ē ōtimo. Se existir um circuito negativo sobre-
põe-se um ciclo de fluxo δ , onde $\delta = \min(b_{ij} - f_{ij}, f_{ji})$ no circuito negativo e volta-se para o Passo (2). (Se os circuitos negativos sāo disjuntos sobre-
põe-se fluxo sobre cada um deles).

A prova de otimização depende do seguinte teorema, o qual pode ser considerado como o teorema central do fluxo do custo mínimo.

Teorema (10) - Um fluxo com valor V é ótimo, se e somente se, baseado nos custos modificados, existem somente circuitos que não sejam negativos.

Ilustração (4) - Considera-se a rede da (Figura V.4) na qual, o primeiro número nos arcos se refere à capacidade, e o segundo número ao custo. Deseja-se obter 20 unidades de fluxo com custo mínimo de s para t . Utiliza-se o algoritmo de FLOYD (7) para determinar circuitos negativos no passo (3) do algoritmo.

Passo 1 - O algoritmo de fluxo máximo produz o fluxo possível com o seguinte custo:

$$16 (7 + 25 + 5) + 4 (28 + 7) = 732.$$

Passo 2 - Dependendo a esse fluxo obtêm-se a rede da Figura (V.5).

Durante a última iteração $C_{4,4}^4$ torna-se negativo com o valor (-15), indicando que existe um circuito com custo negativo, envolvendo o vértice x_4 . Esse circuito pode ser obtido da matriz do custo ou seja, (x_4, x_3, x_2, x_4) . Tabela (V.1) e (V.2).

Passo 4 - O valor de δ será obtido como se segue:

$$\delta = \min \left[\begin{array}{c} 12 \\ (x_4, x_3) \end{array}, \begin{array}{c} 16 \\ (x_3, x_2) \end{array}, \begin{array}{c} 18 \\ (x_2, x_4) \end{array} \right] = 12$$

O novo modelo de fluxo depois da circulação de fluxo de δ no circuito, então o custo \bar{c} é de 552.

Voltando para o Passo 2, obtêm-se a rede modificada.

Procedendo da mesma maneira obtêm-se:

Passo 3 - Circuito (x_6, x_1, x_4, x_6) com custo - 10 é detectado

$$\text{Passo 4} - \delta = \min [4, 11, 19] = 4.$$

O novo modelo de fluxo \bar{c} é de custo 512

Passo 2 - A rede do novo fluxo

Passo 3 - Circuito negativo $(x_7, x_3, x_2, x_5, x_7)$ com custo -8 é investigado.

$$\text{Passo 4} - \delta = \min [16, 4, 16, 16] = 4.$$

O novo modelo de fluxo \bar{c} é de custo 480

Passo 2 - Obtenção da nova rede

$$\text{Passo 3} - \delta = \min (7, 15, 1, 4, 4, 16) = 1.$$

O custo \bar{c} é igual a 476

Passo 2 - Novamente, obtêm-se a rede modificada.

Passo 3 - O circuito negativo (x_1, x_2, x_4, x_1) com custo (-2) é determinado.

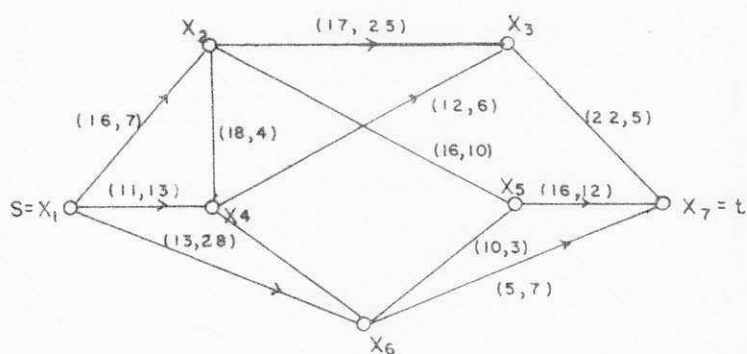


FIGURA 5.4 - RÊDE PARA ILUSTRAÇÃO II

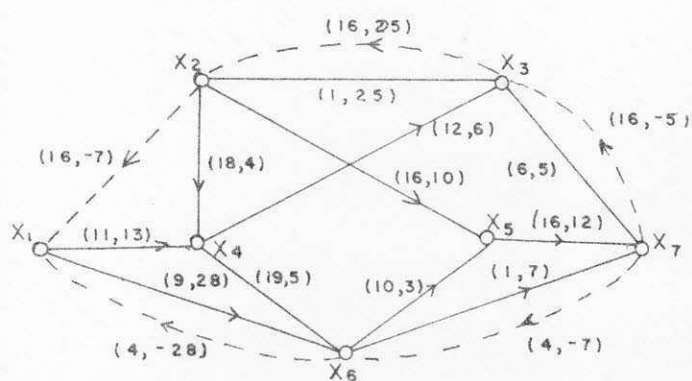


FIGURA 5.5 - RÊDE ALTERADO DEPOIS DE ITERAÇÃO I

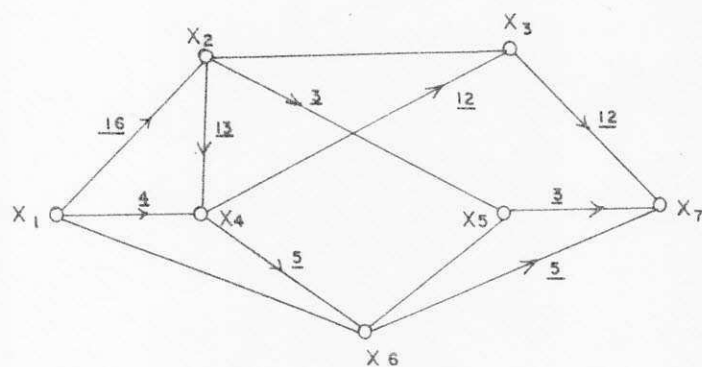


FIGURA 5.6 - FLUXO COM CUSTO MÍNIMO

	X_1	X_2	X_3	X_4	X_5	X_6	X_7
X_1	0	∞	∞	13	∞	28	∞
X_2	-7	0	25	4	10	21	30
X_3	-32	-25	0	-21	-15	-4	5
X_4	-26	-19	6	-15	-9	2	11
X_5	∞	∞	∞	∞	0	∞	12
X_6	-28	∞	∞	-15	3	0	7
X_7	-37	-30	-5	-26	-20	-9	0

TABELA V.1 - MATRIZ DO MENOR CUSTO

	X_1	X_2	X_3	X_4	X_5	X_6	X_7
X_1	1	1	1	1	1	1	1
X_2	2	2	2	2	2	1	3
X_3	2	3	3	2	2	1	3
X_4	2	3	4	2	2	1	3
X_5	5	5	5	5	5	5	5
X_6	6	6	6	6	6	6	6
X_7	2	3	7	2	2	1	7

TABELA V.2 - MATRIZ DE CAMINHO

Passo 4 - $S = (1, 6, 5) = 1$.

Agora o custo \bar{c} é de 474 (Fig. V.6).

Na rede modificada não se pode achar circuito negativo, portanto o menor custo para 20 unidades de fluxo \bar{c} é de 474.

Na Figura (V.7) a linha que se encontra em baixo dos números indicam o fluxo ao longo do arco correspondente.

V.3.3 - ALGORITMO DA DESIGNAÇÃO

Para se obter a designação de custo mínimo, as seguintes operações devem ser realizadas:

Passo 1 - Subtrair o elemento mínimo de cada linha de todos os elementos daquela linha. Fazer o mesmo para com as colunas.

Passo 2 - Examinar as linhas e colunas sucessivamente, para cada linha (coluna) com exatamente um zero restante, reservar aquela posição para uma designação, e eliminar (x) os outros zeros da coluna (linha) correspondente. Repetir, se necessário, para as linhas e colunas sem posições reservadas, completando as designações, a solução é ótima. Caso contrário, seguir para o passo (3).

Passo 3 - Traçar um número mínimo de rotas para cobrir todos os zeros, da seguinte maneira:

- a) Marcar todas as linhas que não tenham designações.
- b) Marcar todas as colunas que tenham designações em colunas.
- c) Marcar todas as linhas que tenham designações, em colunas marcadas.
- d) Repetir os passos (b) e (c) até não ser mais possível marcar linhas ou colunas.
- e) Traçar uma reta sobre cada linha não marcada e, sobre cada coluna marcada.

Passo 4 - Examinar todos os elementos não cobertos por uma reta. Escolher o elemento mínimo desses elementos e subtraí-lo de todos os elementos não cobertos por uma reta. Somar esse elemento mínimo a cada elemento situado na interseção de duas retas. Retornar ao passo (2).

Ilustração (14) - Desejando-se designar 3 equipamentos aos 4 postos de modo que se minimize o tempo total de deslocamento, procede-se da seguinte maneira:

É necessário criar um equipamento fictício x_4 com todos os custos nulos, para igualar o número de equi-

pamento com o número de postos disponíveis. Isto feito na Tabela (V.3), obter-se-á matriz da tabela (V.4).

Aplicando-se os Passos (1), (2), (3) do algoritmo a Tabela (V.5) será obtida.

O elemento mínimo não coberto é igual a 2. Aplicando-se o Passo (4) a Tabela (V.5) se transforma em Tabela (V.6).

Ao se aplicar o Passo (5) na Tabela (V.6) chegou-se ao ponto em que se faz necessário arbitrar uma designação pelo fato das linhas e colunas apresentarem mais de um zero disponível para a designação. Isto indica a existência de mais de uma solução ótima. Escolhendo, arbitrariamente, uma designação (x_1, y_2) obtêm-se a matriz da Tabela (V.7). As designações ótimas serão vistas na Tabela (V.8) em que as duas soluções (1 e 2) são ótimas (com o mesmo tempo de deslocamento).

	Y_1	Y_2	Y_3	Y_4
X_1	5	1	3	100
X_2	3	1	4	3
X_3	3	3	4	2

TABELA V.3 - MATRIZ INICIAL

	Y_1	Y_2	Y_3	Y_4
X_1	5	1	3	100
X_2	3	1	4	3
X_3	3	3	4	2
X_4	0	0	0	0

TABELA V.4 - MATRIZ DE EFICIÊNCIA

	Y_1	Y_2	Y_3	Y_4
X_1	4	0	2	99
X_2	2	0	3	2
X_3	1	1	2	0
X_4	0	0	0	0

TABELA V.5 - MATRIZ DE EFICIÊNCIA DEPOIS
DA PRIMEIRA ITERAÇÃO

	Y_1	Y_2	Y_3	Y_4
X_1	2	0	0	97
X_2	0	0	1	0
X_3	1	3	2	0
X_4	0	2	0	0

TABELA V.6 - MATRIZ DE EFICIÊNCIA ALTERADA NA SEGUNDA ITERAÇÃO

	Y_1	Y_2	Y_3	Y_4
X_1	0	0	0	97
X_2	0	0	1	0
X_3	1	3	2	0
X_4	0	2	0	0

TABELA V.7 - DESIGNAÇÃO ÓTIMA NA MATRIZ DE EFICIÊNCIA

	1	2
EQUIPAMENTO	POSTO	POSTO
X_1	Y_2	Y_3
X_2	Y_1	Y_2
X_3	Y_4	Y_4

TABELA V.8 - DESIGNAÇÃO ÓTIMA

CAPÍTULO VI

DESCRIÇÃO DOS MÉTODOS DE RESOLUÇÃO

VI.1- INTRODUÇÃO

Como visto no Capítulo II, o objetivo deste trabalho é otimizar o tempo de deslocamento dos equipamentos da pesquisa nas diferentes etapas. Neste Capítulo serão apresentados os três métodos, pelos quais se resolveu o problema. São apresentadas, inicialmente, duas maneiras, nas quais não são utilizados os conceitos de programação linear, mas que são eficientes em termo de computação. A terceira maneira foi resolver o problema utilizando o algoritmo da designação.

Antes de desenvolver os métodos de resolução, será conveniente tecer algumas considerações referentes à resolução do problema.

VI.2 - HIPÓTESES

Considerando as restrições existentes na pesquisa feita pela SUDENE, definiremos cinco redes, tendo como os seus vértices, os postos da Coleta de Dados em cada etapa distribuída da seguinte maneira:

Se um equipamento não foi utilizado na próxima etapa (por exemplo; nas épocas de festas em que o movimento não é normal, ou, então, porque geralmente cada grupo orientava dois equipamentos, e não se podia transportar somente um deles enquanto o outro equipamento estivesse ocupado) então, este não foi considerado. Explica-se que esses equipamentos serão utilizados como um centro de suprimento nas próximas etapas.

Como foi dito anteriormente, a cidade de Campina Grande é o centro da distribuição dos equipamentos, isto é: todos os equipamentos foram enviados de Campina Grande e depois do término da coleção total dos dados voltarão para a mesma. Portanto, nas etapas em que houve menos de vinte e cinco equipamentos a serem distribuídos, considerou-se um Posto de Suprimento em Campina Grande, cuja capacidade varia, dependendo dos equipamentos localizados aqui e, também, das demandas da próxima etapa.

A Tabela de relação de grupos, postos e equipamentos (Tabela II.1) mostra que existem alguns postos que

têm uma necessidade maior que a dos outros e, portanto, precisam de mais de um equipamento. É óbvio que o número de equipamentos em Campina Grande varia de acordo com as etapas.

Desde que, cada arco na rede tenha diferentes capacidades, precisaríamos armazená-las no computador e, em alguns casos, isto se tornaria impossível devido às limitações da memória. Por isso, foi necessário e mais fácil considerar que a capacidade de todos os arcos seja igual a 1 (um) e, para isso, se se tiver um posto com capacidade maior que um, este seria substituído por um conjunto de postos, igual a sua capacidade. Tal critério foi adotado devido ao fato de não haver muitos postos com capacidade maior que um.

Verificou-se que o problema é satisfazer as demandas ao custo mínimo de m_t destinos pelo n_s origens que pode ser convertido a um problema de achar um fluxo máximo com o custo mínimo.

Se adicionarmos um vértice artificial de origem (s) e um vértice artificial de destino (t), desde que esses não tenham sentido físico, os custos nos arcos de s para n_s e nos arcos de m_t para t serão nulos. As Figuras (VII.1 a VII.5) representam os grafos ultimamente obtidos.

Visto que, o objetivo é satisfazer a um custo mínimo, as demandas da seguinte etapa em cada rede, então, considerou-se que não existe nenhum arco de uma origem para outra e nem de um destino para outro. Os custos nos arcos que

unem cada origem a todos os destinos são os menores possíveis (veja Capítulo IV). A capacidade nesses arcos que unem s a n_s é igual a um. Desde que se deseja transportar um fluxo com o custo mínimo, então o problema pode ser resolvido pelos métodos indicados na próxima Secção.

VI.3 - MÉTODOS DE RESOLUÇÃO

VI.3.1 - MÉTODO DE BUSACKER E GOWEN (3)

O algoritmo deste método foi apresentado no Capítulo IV. O segundo passo do algoritmo exige determinar o menor caminho entre s e t . O problema foi resolvido, uma vez utilizando-se o algoritmo de MOORE (13), BELLMAN (1) e FORD (8) para achar o menor caminho entre s e t . Utilizando-se o vetor θ que contém os vértices do menor caminho, modificou-se os custos associados aos arcos do menor caminho e, uma vez que o fluxo é igual à capacidade, para se obter a matriz de custo modificado, as seguintes alterações foram feitas:

$$C_{ij}^* = \infty \quad (\text{conforme } - f_{ij} \text{ é igual a } b_{ij})$$

$$C_{ji}^* = -C_{ij} \quad (\text{conforme } - f_{ij} \text{ é positivo})$$

O processo foi feito V vezes para obter o fluxo máximo (V) com o menor tempo de deslocamento. Finalmente

te obtemos o tempo total de viagem da seguinte maneira:

Se na solução final tiver um fluxo positivo no arco de m_j para n_i , isto significa que a demanda de m_j será satisfeita por n_i . Somando-se essas quantidades obteve-se o tempo total de viagem em cada rede. (Apêndice A)

O processo foi feito outra vez, utilizando-se o algoritmo de FLOYD (7), pelo qual pôde-se obter o menor caminho entre todos os pares de vértices, por conseguinte, o menor caminho entre s e t . Os outros processos foram explicados anteriormente.

Para determinar o menor caminho entre s e t , nota-se que a deficiência do algoritmo de FLOYD (7) é inferior a do algoritmo de FORD (8), BELLMAN (1) e MOORE (13). Porque despense de maior tempo na execução, maior uso da memória do computador devido ao método de pesquisa.

VI.3.2 - MÉTODO DE KLEIN (11)

Explicou-se no Capítulo IV o método apresentado por KLEIN. Deve-se enviar inicialmente, um fluxo máximo, o que pode ser feito por tentativa, ou então, utilizando-se o algoritmo de fluxo máximo (9). Transportou-se o fluxo máximo de maneira que, cada origem satisfaça a um só destino, e cada destino não receba o fluxo mais de uma vez. Em outras palavras:

$$\sum_{i=1}^n a_i = 1 \quad \text{e} \quad \sum_{j=1}^n b_j = 1$$

Portanto, definiu-se a matriz do tempo alterada da seguinte maneira:

$$C_{ij}^* = \infty \quad \text{conforme } f_{ij} \text{ é igual a } b_{ij}$$

$$C_{ij}^* = -C_{ij} \quad \text{conforme } f_{ij} \text{ é positivo}$$

Para verificar se existe um circuito com custo negativo na rede ou não, utilizou-se o método da pesquisa direta (6) e, também, o método de FLOYD. Se existir um circuito negativo, sobrepõe-se um ciclo de fluxo δ , onde $\delta = \min(b_{ij} - f_{ij}, f_{ji})$ no circuito negativo. Nesse caso o valor de δ é igual a 1 (um). Continua-se dessa maneira até que não se pode encontrar um circuito negativo na rede.

Para detectar circuito negativo, o método da pesquisa direta (6) oferece bons resultados com pequenas dimensões, mas com grandes dimensões (50 x 50) os primeiros circuitos negativos são detectados rapidamente, mas quando estamos bem próximos da solução ótima essa operação é muito demorada. Por que esse algoritmo utiliza a técnica de "back truck" com complexidade exponencial.

O método de FLOYD utilizado para achar circuito com custo negativo, se for usado para uma rede em que a pesquisa parte do vértice s a todos os outros vértices, não é o melhor método. Uma técnica mais eficiente é o algoritmo de FORD (8), MOORE (13) e BELLMAN (1). (Apêndice B)

Na comparação dos métodos de KLEIN, BUSACKER e GOWEN visto que pelo método de BUSACKER e GOWEN (3). O número de iterações é conhecido, o qual, para o método de

KLEIN (11) é desconhecido e depende mais do fluxo inicial em que começou o processo.

VI.3.3 - MÉTODO DE DESIGNAÇÃO ÓTIMA (14)

Os problemas de designação ocorrem quando se tem de distribuir uma determinada quantidade de itens em uma quantidade igual de localização. Nos grafos definidos nas Figuras VII.1 a VII.5, essa igualdade não se verifica, portanto, isto foi obtido com a introdução de itens ou localizações fictícias, conforme necessário. (Apêndice C)

Os resultados serão vistos no Capítulo (VI). Em alguns casos mais de uma solução ótima foi obtida, a qual é mostrado nas Figuras (VII.1 a VII.5) pelas retas tracejadas.

Se considerarmos n o número de equipamentos disponíveis e m a demanda nos postos em cada rede, a matriz de custo para os métodos de Busacker e Gowen (7) e o de KLEIN é de ordem $(n + m + 2) \times (n + m + 2)$ o qual para algoritmo de designação é de $(n \times n)$ ou $(m \times m)$ dependendo do que for maior (m ou n).

VI.3.4 - MÉTODO DE CLARKE E WRIGHT (5)

Os métodos vistos nos itens (VI.3.1), (VI.3.2) e (VI.3.3) são utilizados quando diferentes regiões na Cole-

ta de Dados foram definidos mas pode-se otimizar o tempo muito mais ainda. A seguir veremos um modelo relativamente simples e fácil de resolver.

No ano de 1963 CLARKE e WRIGHT (10) introduziram o conceito de "economia" e desde aquela época muitos métodos que tinham sido publicados, tentam resolver o problema de planejamento dos veículos, usando técnicas baseadas naquele conceito.

Considera-se um armazém para abastecer n consumidores e, além disso, supõe-se que exista bastante veículos com a capacidade suficiente no depósito, de maneira que, cada consumidor pode ser abastecido por um veículo e vice-versa (Fig. V.1). O custo total (ou distância percorrida por todos os veículos) é:

$$2 \sum_{j=1}^n C_{0j}$$

onde o sufixo nulo representa o depósito, e C_{0j} é o custo de viagem do depósito até o consumidor j . Nesse caso o número de veículos usado é n . Agora supõe-se dois consumidores i e j unidos, de modo que sejam fornecidos por um só veículo e numa rota só. A ligação entre consumidores i e j elimina uma rota do veículo e, também, reduz o custo por quantidade $S_{ij} = C_{0i} + C_{0j} - C_{ij}$. A quantidade S_{ij} é chamada de economia na ligação (ij) que não é negativa; é óbvio que quanto maior a economia entre o consumidor i e o consumidor j , a união en-

tre os consumidores i e j numa rota \bar{e} a mais desejada.

- Algoritmo de CLARKE e WRIGHT

Esse algoritmo pode ser descrito pelos seguintes passos:

- (a) Calcular as S_{ij} para todos os pares de consumidores ij .
- (b) Ordenar as S_{ij} na forma descendente de grandeza.
- (c) Começar de cima da lista, como se segue:
 - (i) se a produção de um aro for possível de acordo com as restrições do problema, adicionar essa ligação à solução; se não despreza-se o aro (Nesse caso as seguintes restrições devem ser consideradas:
 - cada rota deve abastecer 4 Postos
 - Precisa-se de 23 rotas para abastecer 92 Postos).
 - (ii) Verifica-se o aro seguinte na lista e repete-se (i) até que a lista seja esgotada.
- (d) Os aros que tinham sido escolhidos organizam a solução para o problema.

Utilizando-se esse método, pode-se obter vinte e tres rotas, cada uma abastecendo quatro postos de coleta dos dados.

Esse algoritmo é heurístico e pode se obter uma boa solução que geralmente é a solução ótima. Esse método é muito simples de ser aplicado e precisa somente de muito pouco tempo de computador para a execução. Contudo, algumas restrições são difíceis de serem incorporadas, e a necessidade de armazenagens no computador pode tornar-se excessiva.

Ilustração - Supõe-se que existem dois veículos no armazem (0) para abastecer seis consumidores.

Inicialmente calculam-se as economias (S_{ij}) para todos os pares de consumidores, e se as ordenam na forma decrescente. (Tabela VI.1)

As duas rotas são mostradas na Figura VI.2. A distância percorrida na rota (0,1,2,3,0) é igual a 13 km e, na outra rota (0,4,5,6,0) é igual a 18.5 km.

Observa-se que qualquer restrição aumentará a distância percorrida pelos veículos.

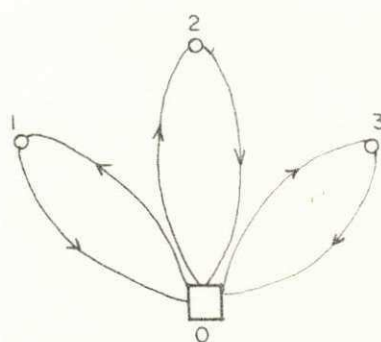


FIGURA VI.1 - ABASTECER OS CONSUMIDORES COM BASTANTE VEÍCULO DO ARMAZEM 0

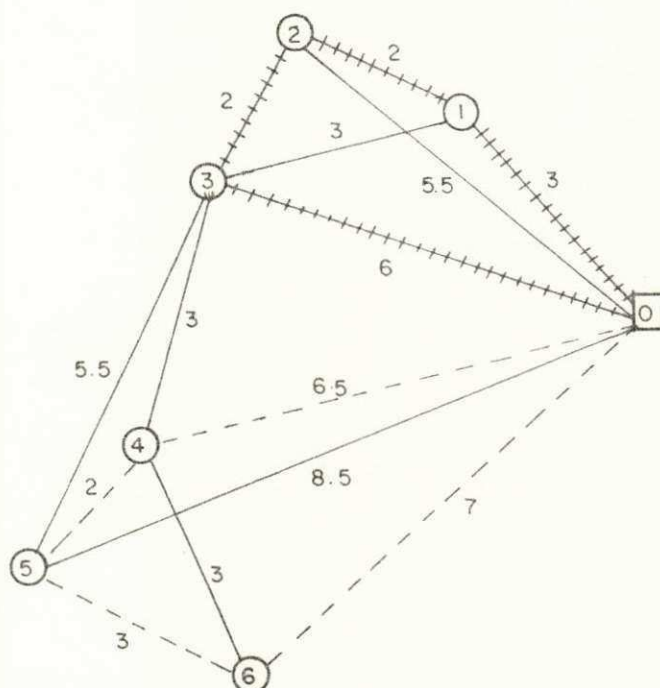


FIGURA VI.2 - OBSTENÇÃO DAS RETAS ÓTIMAS SEM CONSIDERAR NENHUMA RESTRIÇÃO

TABELA VI.1

S_{34}	S_{56}	S_{34}	S_{23}	S_{35}	S_{12}	S_{13}	---
13.0	12.5	10.5	9.5	9.0	6.5	6.0	---

A TABELA DE S_{ij} ORDENADA

CAPÍTULO VII

APRESENTAÇÃO DE RESULTADOS

UNIVERSIDADE FEDERAL DA PARAÍBA
Pró-Reitoria Para Assuntos do Interior
Coordenação Setorial de Pós-Graduação
Rua Américo Veloso 882 Tel (083) 321 7222-R 355
58 100 - Campina Grande - Paraíba

Este Capítulo tem a finalidade de ilustrar o uso dos dados obtidos como resultado dos programas desenvolvidos durante esta otimização. Os dados produzidos são de natureza repetitiva e, em grande posto, escolheu-se apenas um exemplo como ilustração. (Apêndice D)

Os resultados obtidos referentes aos diferentes passos da pesquisa são mostrados nas Fig. (VII.1) a (VII.5), nas quais os arcos identificados mostram o arranjo ótimo. No caso em que houve mais de uma solução ótima mostrou-se pelas linhas tracejadas.

A Tabela (VII.1) mostra a comparação entre o arranjo real aplicado na coleta de dados e o arranjo sugerido neste trabalho em cada passo. Analisando estes resultados observou-se 22.5% de economia no tempo total de viagem.

Observando a Tabela (VII.1) vemos que na primeira etapa não se verificou qualquer economia de tempo. Isto se explica pelo fato de que a rede é pequena e por os pesquisadores haverem escolhido o caminho ótimo. No caso da etapa 4, na qual verifica-se uma economia de 35.9% significa que, em razão de existir muitas opções de escolha, tornou-se difícil escolher o caminho ótimo e, com isso se distanciaram da solução ótima encontrada neste trabalho. Se existisse mais postos de coleta de dados por exemplo: 50 a ser abastecido em cada etapa verificar-se-ia que se tornava ainda mais difícil escolher as rotas ótimas nas quais a importância de pesquisa operacional seria observada mais ainda.

UNIVERSIDADE FEDERAL DA PARAÍBA
Pró-Reitoria Para Assuntos do Interior
Coordenação Setorial de Pós-Graduação
Rua Aprígio Veloso, 832 - Tel (333) 321 7222-R 355
58.100 - Campina Grande - Paraíba

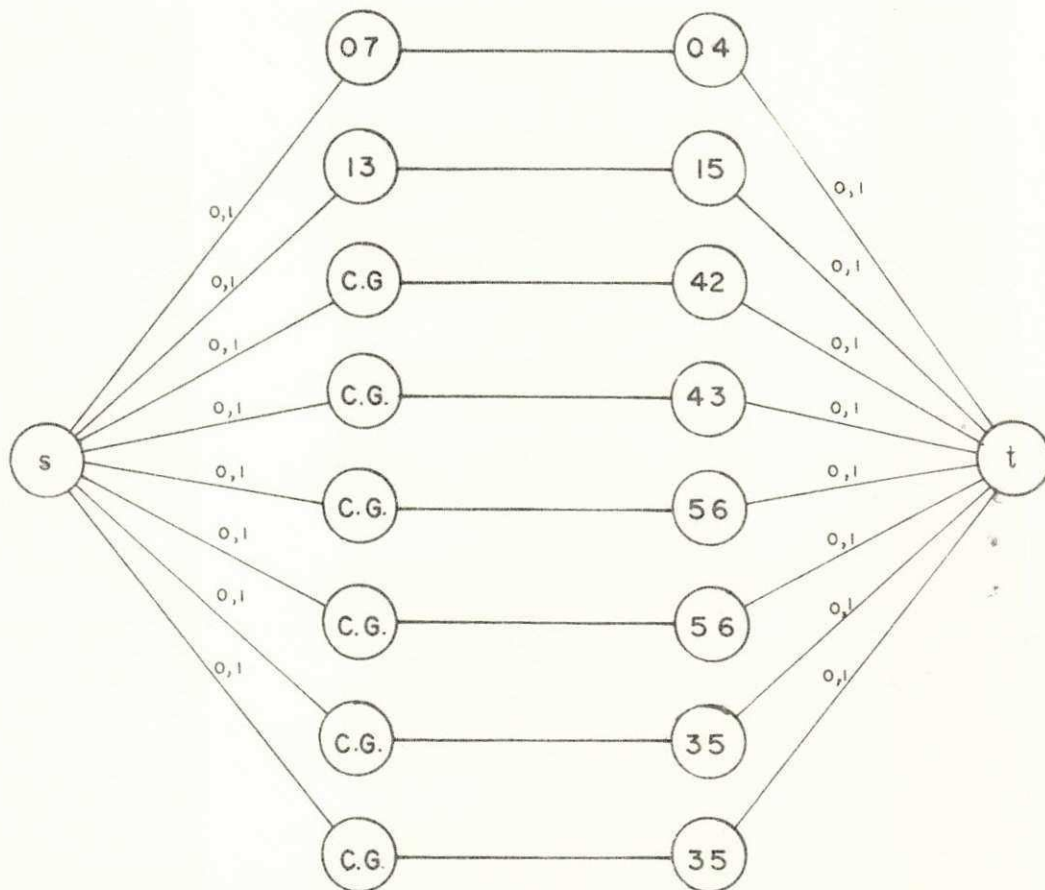


FIGURA VII.1 - RÊDE ORGANIZADA PELAS ETAPAS 1 e 2 DE COLETA DE DADOS E A SOLUÇÃO ÓTIMA

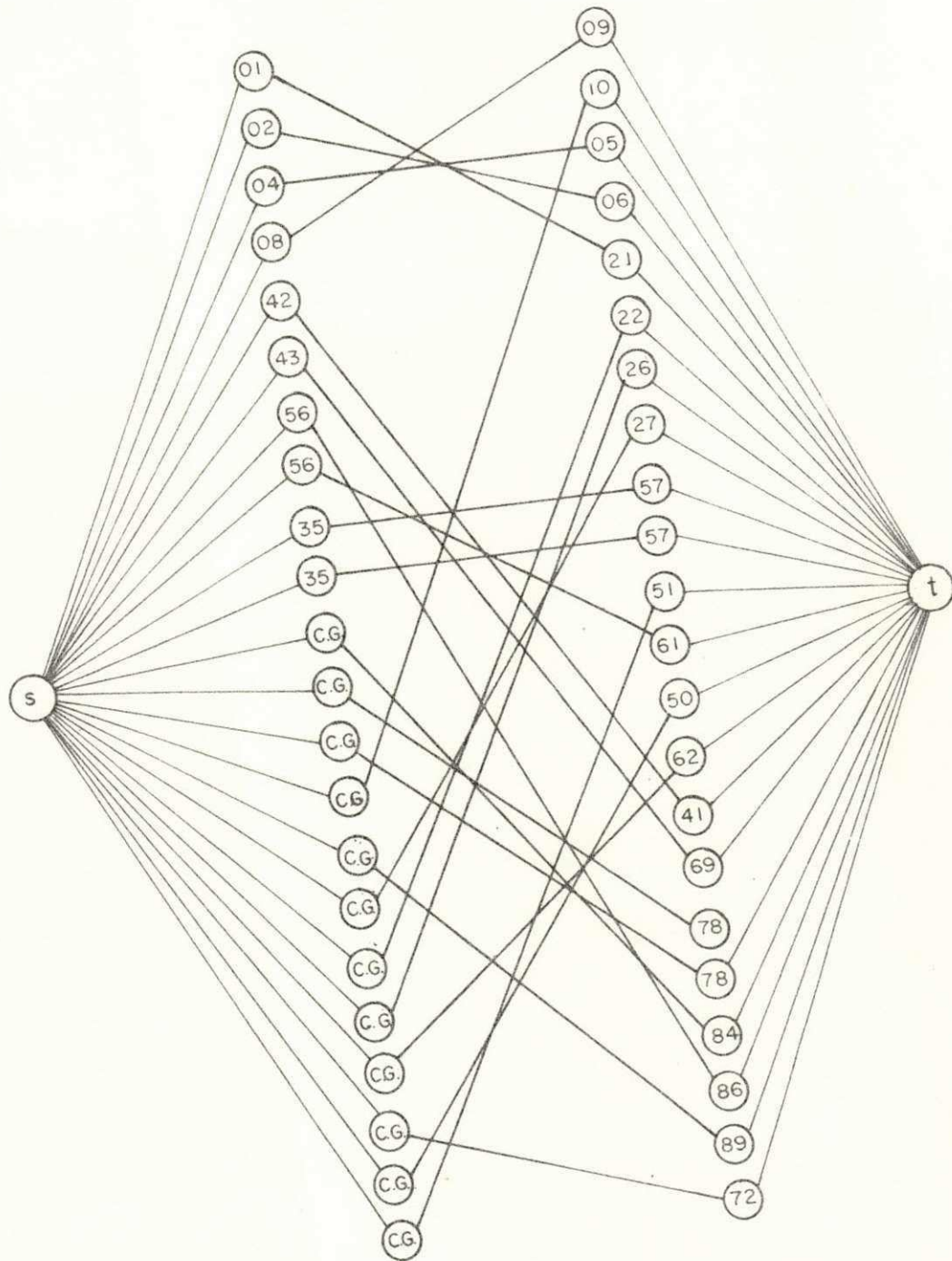


FIGURA VII.2 - RÊDE ORGANIZADA PELAS ETAPAS 2 e 3
DE COLETA DE DADOS E A SOLUÇÃO
ÓTIMA

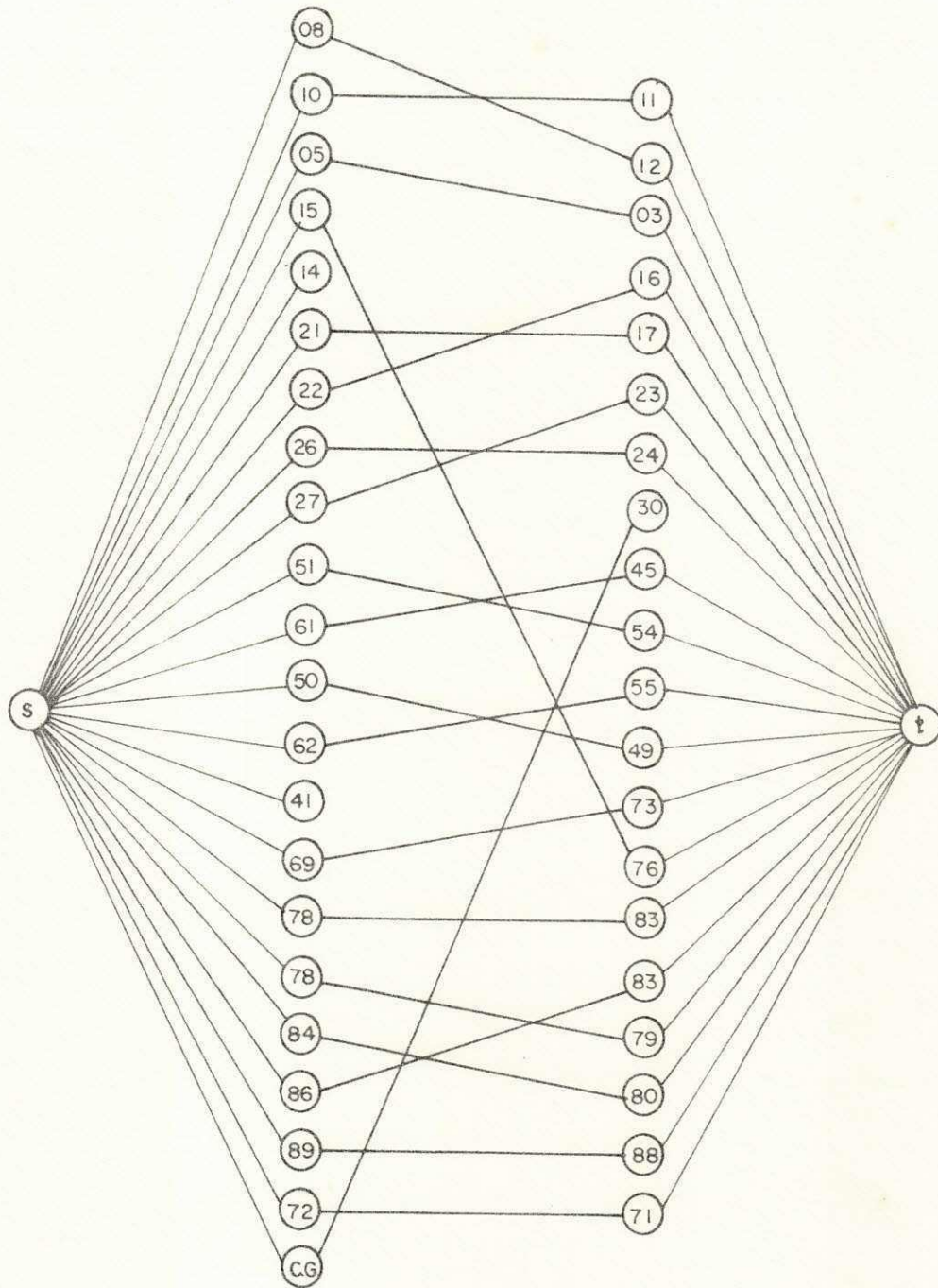


FIGURA VII.3 — RÊDE ORGANIZADA PELAS ETAPAS 3 e 4 DE COLETA DE DADOS E A SOLUÇÃO ÓTIMA

UNIVERSIDADE FEDERAL DA PARAÍBA
Pró-Reitoria Para Assuntos do Interior
Coordenação Setorial de Pós-Graduação
Rua Aprigio Veloso, 882 - Tel (083) 321-7222-R 355
58.100 - Campina Grande - Paraíba

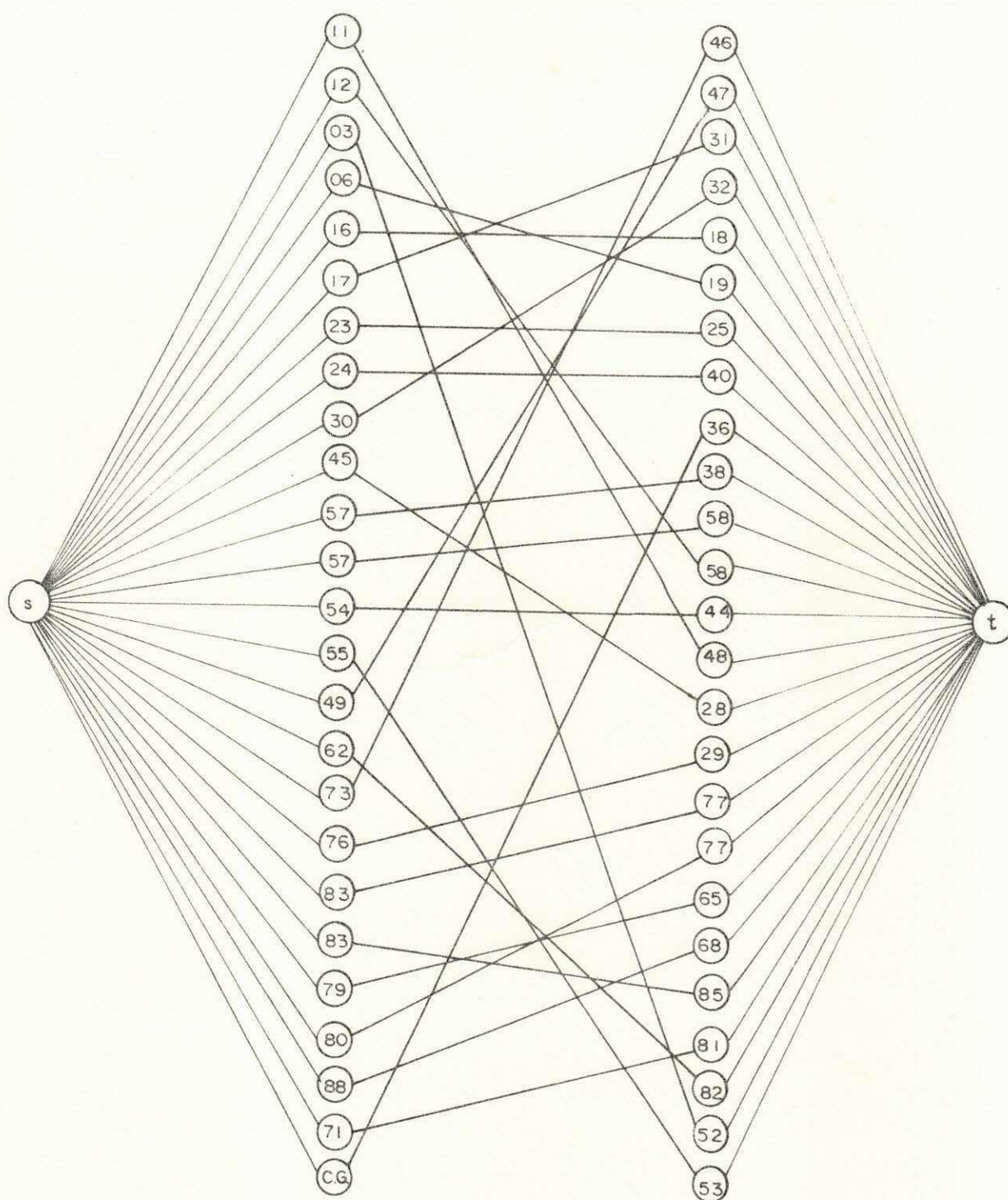


FIGURA VII.4 - RÊDE ORGANIZADA PELAS ETAPAS 4 e 5 DE COLETA DE DADOS E A SOLUÇÃO ÓTIMA

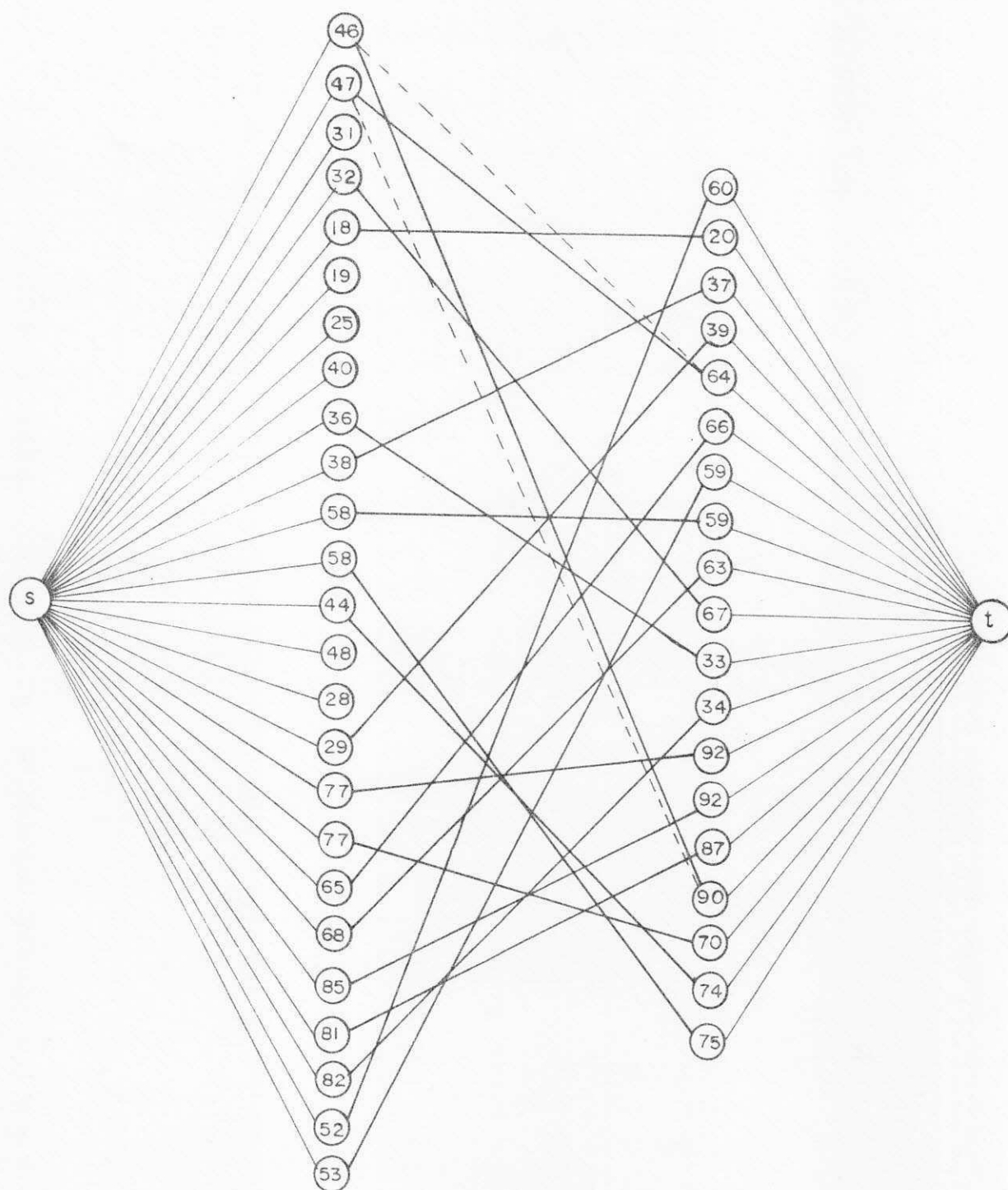


FIGURA VII.5 - REDE ORGANIZADA PELAS ETAPAS 5 e 6
E SOLUÇÃO ÓTIMA

	ARRANJO REAL APLICADO	ARRANJO OFERECIDO	POR CENTO DE ECONOMIA
1 ^a Parte	31,13	31.13	-
2 ^a Parte	177.56	166.31	6.4 %
3 ^a Parte	65.96	44.72	3.2 %
4 ^a Parte	132.96	85,50	35.7 %
5 ^a Parte	113,72	72.88	35.9 %
T O T A L	516.79	400.54	22.5 %

TABELA VII.1 - COMPARAÇÃO ENTRE ARRANJO APLICADO E O ARRANJO SUGERIDO

CAPÍTULO VIII

C O N C L U S Õ E S

Este trabalho tratou do desenvolvimento e da aplicação da Teoria dos Grafos para a Otimização do Tempo de Viagem ou deslocamento de equipamento entre vários polos. O modelo foi satisfatoriamente ensaiado sobre o deslocamento de equipamento de coleta de dados feita na Região do Nordeste Brasileiro.

Considerando todas as restrições do caso real e, aplicando-se o modelo conseguiu-se uma economia em tempo total de viagem de até 35.9% em alguma etapa e, também, uma média de 22.5%.

Se realmente as divisões de Regiões no Processo da Coleta de Dados não são necessárias, ou, então, somente existe uma Região, na qual a Pesquisa deve ser feita inicialmente (Utilizando o Método de CLARKE e WRIGHT (5)) pode-se obter melhores resultados. De fato, deve se modificar o algoritmo de CLARKE e WRIGHT para se adaptar às condições reais da Coleta de Dados.

REFERÊNCIAS BIBLIOGRÁFICAS

- (1) BELLMAN, R. (1958). On a routing problem, Quart. of Applied Mathematics, 16, P.87.
- (2) BERRY, R. C. (1971), A constrained shortest path algorithm, Paper presented at the 39 th National ORSA Meeting. Dallas, Texas.
- (3) BUSACKER, R.G., AND GOWEN, P.J. (1961). A Procedure for Determining a Family of Minimal - Cost Network Flow Pattern, ORD Technical Report 15, Operations Research Office, Johns Hopkins University.
- (4) CHRISTOFIDES, N. (1975). Graph Theory, An Algorithmic Approach, Academic Press New York.
- (5) CLARKE, G. AND WRIGHT, J. W. (1963). Scheduling of vehicles from a Central depot to a number of delivery points. ops. Res. 11, 568.
- (6) FLORIAN, M., AND ROBERT, P. (Jan. 1971). A direct search method to locate negative cycles in a graph, Management Science vol. 17, Nº 5.
- (7) FLOYD, R. W. (1962). Algorithm 97 - Shortest path, Comm. of ACM, 5, P. 345.
- (8) FORD, L.R., JR. (1946), Network flow theory, Rand Corporation Report P.923.
- (9) FORD, L.R., Jr. and Fulkerson, D.R. (1962), Flows in Networks, Princeton University Press, Princeton, N.J.

- (10) HU, T.C. (1969), Integer Programming and Network Flows, Addison - Wesley Publishing Company. London.
- (11) KLEIN, M. (Nov. 1967). A Primal Method for Minimal Cost Flows, Man. Sci., 14(3), 205-220.
- (12) MARCONDES, L.C. (1976). Relatório Técnico do Convênio SUDENE/ATECEL, Campina Grande.
- (13) MOORE, E.F. (1957). The shortest path through a maze, Proc. Int. Symp. on the Theory of Switching, Part II, P. 285.
- (14) PUCCINI, A.L. (1976). Introdução à Programação Linear, Livros Técnicos e Científicos Editora S.A., Rio de Janeiro, Brasil, 1976.
- (15) YEN, J.Y. (1977). On the efficiencies of algorithms for detecting negative loops in networks, Santa Clara Business Review, P.52.

APÉNDICE A

Programa 1 - Método de Busacker e Gowen utilizando-se o Algoritmo de Ford, Bellman, Moore para determinar o menor caminho de s para t.

```

0001 0001 SUBROUTINE GENERAL
0002 0002 INTEGER LE(53),LS(53),C(53,53),GINV(53,53),GAMAS(53),SS(53),SUM(
0003 0003 *53),XX(53),TETA(53),P,LIST(53)
0004 0004 COMMON N,C,TETA,IS,GINV,KEY
0005 0005 KEY=0
0006 0006 N=N+1
0007 0007 LE(I)=0
0008 0008 LS(I)=0
0009 0009 KEY=0
0010 0010 KEYI=0
0011 0011 K=1
0012 0012 NCUT=0
0013 0013 ILL=IL+1
0014 0014 DO 4 I=1,N
0015 0015 IU=0
0016 0016 DO 3 J=1,N
0017 0017 IF(1.EQ.J) GO TO 3
0018 0018 IF(C(I,J),1).EQ.999999) GO TO 3
0019 0019 IU=IU+1
0020 0020 GINV(I,IJ)=J
0021 0021 3 CONTINUE
0022 0022 GINV(I,IJ+1)=NNN
0023 0023 4 CONTINUE
0024 0024 DO 2 I=1,M
0025 0025 TETA(I)=0.
0026 0026 SUM(I)=0.
0027 0027 XX(I)=0.
0028 0028 GAMAS(I)=0.
0029 0029 2 CONTINUE
0030 0030 J=0
0031 0031 II=1
0032 0032 DO 20 I=2,N
0033 0033 FFC(I,I,1).EQ.999999) GO TO 10
0034 0034 J=J+1
0035 0035 SS(J)=1
0036 0036 TETA(I)=1.
0037 0037 FFC(I)=C(I,5,1)
0038 0038 LS(I)=LFC(I)
0039 0039 GO TO 20
0040 0040 10 FFC(I)=999999
0041 0041 LS(I)=LFC(I)
0042 0042 20 CONTINUE
0043 0043 22 I=M+1
0044 0044 IWO=IM
0045 0045 DO 35 N=1,J
0046 0046 P=SS(N)
0047 0047 DO 30 IJ=1,M
0048 0048 XX(IJ)=0.
0049 0049 SUM(IJ)=0.
0050 0050 KEYI=0
0051 0051 IF(P.EQ.IJ) GO TO 30
0052 0052 FFC(P,IJ).EQ.999999) GO TO 30
0053 0053 DO 28 MD=1,IM
0054 0054 IF(GAMAS(MD).EQ.IJ)GO TO 27
0055 0055 GO TO 28
0056 0056 KEYI=1
0057 0057 GO TO 29

```

```

0094      28 CONTINUE
0095      29 IF (KEY1.EQ.1) GO TO 30
0100      GAMAS(I)=I
0001      I=I+1
0002      I=I-1
0003      33C CONTINUE
0004      35 CONTINUE
0005      KX=K+1
0006      N1=90 I=I+I
0007      I=I
0008      IX=GAMAS(I)
0009      I=(IX.EQ.0) GO TO 90
0010      D=46 I=I,J
0011      D=45 J=I,M
0012      I=(SIGNV(IX,J1)-NNN) 38+46+38
0013      39 I=(SIGNV(IX,J1).EQ.SS(IJ))GO TO 40
0014      GO TO 45
0015      4C I=I+1
0016      XX(I)=SS(I)
0017      GO TO 46
0018      45 CONTINUE
0019      45 CONTINUE
0020      I=(I+GT.0) GO TO 55
0021      K1IE(6,49)
0022      GO TO 50
0023      49 F=FWAT(I)OX,*I=0*/
0024      55 O=60 I=I+1,I
0025      IKK=IK
0026      JX=XX(IK)
0027      SUM(IK)=L(F(JX)+C(JX,IX)
0028      60 CONTINUE
0029      KL=XX(I)
0030      SUM1=SUM(I)
0031      I=(IK.LT.2)GO TO 75
0032      D=70 IL=2,IKK
0033      I=(SUM(IL).GT.SUM1)GO TO 70
0034      KL=XX(IL)
0035      SUM1=SUM(IL)
0036      7C CONTINUE
0037      75 I=(SUM1.GE.L(F(IX)) GO TO 80
0038      LS(IX)=SUM1
0039      IFT(IX)=KL
0040      GO TO 50
0041      80 LS(IX)=L(F(IX)
0042      9C CONTINUE
0043      103 FGRWAT(I)OX,17)
0044      91 N=N-1
0045      I=(K-MN)110,105,105
0046      125 KEY=1
0047      110 J=0
0048      GO 115 LL=1,N
0049      I=(LS(LL).EQ.LF(LL)) GO TO 115
0050      NCLIT=1
0051      J=J+1
0052      SS(J)=LL
0053      115 LF(LL)=LS(LL)
0054      I=(NCLIT.EQ.0) GO TO 140
0055      I=(KEY.EQ.1)GO TO 140

```

```

0114      I16 AFR+1
0115      XGLI1=0
0116      DO 120 NI=1,N
0117      LIST(NI)=0
0120      120 SAMP(NI)=0
0121      GO TO 22
0122      I=0 RETURN
0123      END

```

FTRAN IV 6 LEVEL 21

GENERAL

DATE = 77209

16/49/23

PAGE 0003

87

```

0001      INTEGER C(53,53),TETA(53),TEST(53),TEMP,CC(53,53),LIST(25,2),
0002      *GINV(53,53),COST
0003      COMMON N,C,TETA,IS,GINV,KEY
0004      CFV=C.
0005      KK=0
0006      READ(5,102)IC,IL,IS,IVALUE
0007      N=IC+1
0008      DO 30 I=1,N
0009      TEST(I)=0.
0010      DO 30 J=1,N
0011      IF(I.EQ.J) GO TO 22
0012      C(I,J)=999999
0013      GO TO 30
0014      22 C(I,J)=0
0015      30 CONTINUE
0016      ILL=IL+1
0017      DO 4 II=2,IL
0018      READ(5,21)(C(II,I),I=ILL,IC)
0019      4 CONTINUE
0020      21 FORMAT(8I4)
0021      DO 40 I=1,IL
0022      C(I,I)=0
0023      C(ILL+I,N)=0
0024      40 CONTINUE
0025      DO 10 I=1,N
0026      WRITE(6,33)I
0027      WRITE(6,34)(C(I,JJ),JJ=1,N)
0028      DO 10 J=1,N
0029      10 CC(I,J)=C(I,J)
0030      3 IF(CFV.EQ.IVALUE) GO TO 200
0031      CFV=CFV+1
0032      DO 60 I=1,N
0033      DO 60 J=1,N
0034      GINV(I,J)=0
0035      60 CONTINUE
0036      CALL GENRAL
0037      TEST(1)=N
0038      IM=N
0039      IKEY=0
0040      DO 1 I=2,N
0041      IK=Y=IKEY+1
0042      IM=TETA(IM)
0043      TEST(I)=IM
0044      L=TEST(I-1)
0045      LL=TEST(I)
0046      TEMP=CC(LL,L)
0047      CC(LL,L)=999999
0048      CC(L,LL)=-TEMP
0049      IF(TEST(I).EQ.IS) GO TO 2
0050      1 CONTINUE
0051      2 DO 20 I=1,N
0052      TEST(I)=0
0053      DO 20 J=1,N
0054      20 C(I,J)=CC(I,J)
0055      IF(KK.GT.5) GO TO 24
0056      DO 25 I=1,N
0057      WRITE(6,33)I
0058      25 WRITE(6,34)(C(I,II),II=1,N)

```

```
0059      34 FORMAT(1X,1B16)
0060      33 FORMAT(I4)
0061      KK=KK+1
0062      24 GO TO 5
0063      200 II=0
0064      COST=0
0065      DO 100 I=1L,N
0066      DO 100 J=1L,N
0067      IF(CO(I,J).GE.0) GO TO 100
0068      COST=COST+CC(I,J)
0069      II=II+1
0070      LIST(II,1)=J
0071      LIST(II,2)=I
0072      100 CONTINUE
0073      WRITE(6,203)
0074      203 FORMAT(5X,'SOURCE',/)
0075      WRITE(6,101)(LIST(JJ,1),JJ=1,II)
0076      WRITE(6,204)
0077      204 FORMAT(5X,'SINK',/)
0078      WRITE(6,101)(LIST(JJ,2),JJ=1,II)
0079      COST=-COST
0080      101 FORMAT(8I4)
0081      102 FORMAT(4I2)
0082      104 FORMAT(5X,'TOTAL TRAVEL TIME=',I8)
0083      WRITE(6,104)COST
0084      STOP
0085      END
```


APÉNDICE B

Programa 2.a - Método de Klein utilizando-se o Algoritmo de Flarian e Robert para detetar o circuito negativo.

```

0001      SUBROUTINE CYNEG
0002      INTEGER CYCLE(53),C(53,53),VALUE(53),OPEN(53),VAL,S,H,U
0003      COMMON N,G,KEY,CYCLE,L
0004      DIMENSION I=1,N
0005      DIMENSION J=1,N
0006      VALUE(J)=0
0007      CYCLE(J)=VALUE(J)
0008      OPEN(J)=1
0009      VALUE(1)=0
0010      OPEN(1)=VALUE(1)
0011      CYCLE(1)=1
0012      U=1
0013      L=1
0014      S=1
0015      C *** SEARCH ALONG ROW U FROM COLUMN S TO COLUMN
0016      C *** N AND FIND THE SMALLEST INDEX V ***
0017      4 DO 5 JJ=S,N
0018      VAL=OPEN(JJ)+(VALUE(L)+C(U,JJ))
0019      IF(VAL.GE.0) GO TO 8
0020      C *** AND NOW POINT TO CYCLE ***
0021      OPEN(JJ)=0
0022      L=L+1
0023      CYCLE(L)=JJ
0024      VALUE(L)=VAL
0025      IF(JJ)
0026      C *** TEST WHETHER THE CYCLE MAY BE COMPLETED ***
0027      W=CYCLE(L)
0028      IF(VALUE(L)+C(U,W))6,3,3
0029      6 CYCLE(L+1)=CYCLE(L)
0030      LL=L+1
0031      IF(LL.EQ.3) GO TO 21
0032      WRITE(6,23)(CYCLE(IP),IP=1,LL)
0033      23 FCHMAT(14,16)
0034      KEY=1
0035      GO TO 20
0036      8 CONTINUE
0037      4 IF(L.EQ.1)GO TO 19
0038      S=CYCLE(L)
0039      VALUE(L)=0
0040      OPEN(S)=1
0041      IF(S.EQ.4)GO TO 15
0042      S=S+1
0043      L=L-1
0044      U=CYCLE(L)
0045      GO TO 4
0046      15 L=L-1
0047      GO TO 4
0048      19 CONTINUE
0049      20 RETURN
0050      21 KEY=0
0051      RETURN
0052      END

```

FORTRAN IV G LEVEL 21

MAIN

DATE = 77209

16/4/9/56

PAGE 0001

```

0001      INTEGER CYCLE(53),C(53,53),INFLOW(30,2),FVALUE,LIST(50,2),
0002      *C(53,53),COST,TEMP
0003      COMMON N,G,KEY,CYCLE,L
0004      READ(5,102)IC,IL
0005      N=IC+1
0006      DO 3 J=1,N
0007      IF(I.EQ,J) GO TO 2
0008      C(I,J)=999999
0009      GO TO 3
0010      2 C(I,J)=0
0011      3 CONTINUE
0012      ILL=IL+1
0013      IF 24 I=2,IL
0014      24 READ(5,21)(C(I,II),II=ILL,IC)
0015      21 FORMAT(814)
0016      DO 4 I=1,IL
0017      C(I,I)=0
0018      C(I,I,M)=0
0019      4 CONTINUE
0020      I=1
0021      IF=N
0022      READ(5,31)FVALUE
0023      WRITE(6,105)
0024      DO 5 I=1,N
0025      WRITE(6,33)I
0026      5 WRITE(6,22)(C(I,J),J=1,N)
0027      FORMAT(1X,1816)
0028      READ(5,23)(INFLOW(I,1),I=1,FVALUE)
0029      READ(5,23)(INFLOW(I,2),I=1,FVALUE)
0030      23 FORMAT(812)
0031      DO 10 J=1,FVALUE
0032      I=INFLOW(J,2)
0033      II=INFLOW(J,1)
0034      C(I,II)=999999
0035      C(II,IS)=0
0036      TEMP=C(II,1)
0037      C(II,1)=C(I,II)
0038      C(I,II)=-TEMP
0039      C(II,I)=999999
0040      C(II,1)=0
0041      AN=N+1
0042      DO 26 I=1,N
0043      WRITE(6,33)I
0044      WRITE(6,22)(C(I,JI),JJ=1,N)
0045      DO 26 J=1,N
0046      26 C(I,J)=C(I,J)
0047      1 KEY=0
0048      CALL YNEG
0049      I(KEY.EQ,0) GO TO 20
0050      DO 40 I=1,L
0051      M=CYCLE(I)
0052      MW=CYCLE(I+1)
0053      TEMP=C(M,M)
0054      CC(M,M)=999999
0055      40 CC(M,M)=-TEMP
0056      DO 42 I=1,N
0057      CYCLE(I)=0

```

15

```
0058      DO 42 J=1,N
0059      42 C(I,J)=CC(I,J)
0060      33 FORMAT(I4)
0061      GO TO 1
0062      20 II=0
0063      WRITE(6,106)
0064      DO 201 I=1,N
0065      WRITE(6,33)I
0066      201 WRITE(6,22)(CC(I,JJ),JJ=1,N)
0067      COST=0
0068      DO 100 I=IL,N
0069      DO 100 J=1,N
0070      IF(CC(I,J).GE.0) GO TO 100
0071      COST=COST+CC(I,J)
0072      II=II+1
0073      LIST(II,1)=J
0074      LIST(II,2)=I
0075      100 CONTINUE
0076      WRITE(6,203)
0077      WRITE(6,101)(LIST(JJ,1),JJ=1,II)
0078      WRITE(6,204)
0079      203 FORMAT(5X,'SOURCE',/)
0080      204 FORMAT(5X,'SINK',/)
0081      WRITE(6,101)(LIST(JJ,2),JJ=1,II)
0082      COST=-COST
0083      WRITE(6,104)COST
0084      101 FORMAT(25I4)
0085      102 FORMAT(2I2)
0086      104 FORMAT(5X,'TOTAL TRAVEL TIME=',I8)
0087      105 FORMAT(45X,'INITIAL MATRIX',/)
0088      106 FORMAT(/,45X,'FINAL MATRIX',/)
0089      200 STOP
0090      END
```

Programa 2.b - Método de Klein utilizando-se o algoritmo de Floyd para detetar o circuito negativo.

92

```

0001      SUBROUTINE CYNEG(C,N,CYCLE,L,KEY)
0002      INTEGER*2 C(53,53),IETA(53,53),CYCLE(53)
0003      KEY=0
0004      DO 4 I=1,N
0005      DO 4 J=1,N
0006      IS=1
0007      IF(C(I,J).EQ.C(N,IS)) GO TO 3
0008      IETA(I,J)=I
0009      GO TO 4
0010      3 IETA(I,J)=C(N,IS)
0011      4 CONTINUE
0012      K=C
0013      8 K=K+1
0014      DO 40 I=1,N
0015      IF(I-K)10,40,10
0016      DO 30 J=1,N
0017      IF(J-K)15,30,15
0018      15 SUM=C(I,K)+C(K,J)
0019      IF(SUM-C(I,J))20,30,30
0020      20 C(I,J)=SUM
0021      IETA(I,J)=IETA(K,J)
0022      30 CONTINUE
0023      IF(C(I,I))50,40,40
0024      40 CONTINUE
0025      GO TO 70
0026      C *** TERMINATION TEST ***
0027      50 WRITE(6,60)I
0028      60 FORMAT(5X,'A NEGATIVE COST CIRCUIT CONTAINRNG',I3,' EXISTS IN
0029      *GRAPH'//)
0030      KEY=1
0031      L=1
0032      CYCLE(L)=I
0033      M=IETA(I,I)
0034      51 L=L+1
0035      CYCLE(L)=M
0036      IF(M.EQ.I) GO TO 79
0037      M=IETA(I,M)
0038      GO TO 51
0039      79 WRITE(6,81)(CYCLE(I),I=1,L)
0040      81 FORMAT(20I5)
0041      GO TO 80
0042      80 IF(K-N)8,30,30
0043      80 RETURN
0044      END

```



```

FORTRAN IV 6 LEVEL 21
0058      33 FORMAT(14)
0059      GO TO 1
0060      20 11=0
0061      20 201 1=1,N
0062      WRITE(6,33)1
0063      201 WRITE(6,22)(CC(1,J),JJ=1,N)
0064      COST=0
0065      20 100 1=1,N
0066      DO 100 J=1,N
0067      IF(CC(1,J).GE.0) GO TO 100
0068      COST=COST+CC(1,J)
0069      11=11+1
0070      LIST(11,1)=J
0071      LIST(11,2)=1
0072      100 CONTINUE
0073      WRITE(6,101)(LIST(JJ,1),JJ=1,11)
0074      *WRITE(6,103)(LIST(JJ,2),JJ=1,11)
0075      COST=-COST
0076      WRITE(6,104)(COST
0077      *FORMAT(9X,'SOURCE',814)
0078      101 FORMAT(3:2)
0079      102 FORMAT(5X,'SINK',814)
0080      103 FORMAT(5X,'TOTAL TRAVEL TIME=',18)
0081      104 FORMAT(5X,'TOTAL TRAVEL TIME=',18)
0082      STOP
0083      END

```

MAIN

DATE = 77209

17/06/18

PAGE 0002

APÉNDICE C

• Programa 3 - Método de designação ótima. (14)

```

0001 INTEGER C(25,25),LL(50),CL(50),CZ(50),PI(50),KAR(180),
0002 *COST,KEY1,LZ(50)
0003 COMMON N,C,LL,CZ,PI,PJ,LL,CL,KEY,COST,LLL
0004 KEY2=0
0005 N=0
0006 3 READ(5,1)N
0007 4 WRITE(6,1)N
0008 1 FORMAT(I2)
0009 IF(N.EQ.0) GO TO 300
0010 COST=0
0011 DO 2 I=1,N
0012 LZ(I)=0
0013 CZ(I)=0
0014 PJ(I)=PI(I)
0015 LL(I)=0
0016 2 CL(I)=LL(I)
0017 READ(5,205)KAR(1)
0018 WRITE(6,205)KAR(1)
0019 GO TO (1302,1306,1200,1200,1100),MM
0020 1105 DO 1101 I=1,N
0021 1101 READ(5,1001)(C(I,J),J=1,N)
0022 1091 FORMAT(6I4)
0023 GO TO 333
0024 1200 DO 1201 I=1,N
0025 1201 READ(5,1002)(C(I,J),J=1,N)
0026 1002 FORMAT(13I6)
0027 GO TO 333
0028 1300 DO 1301 I=1,N
0029 1301 READ(5,1003)(C(I,J),J=1,N)
0030 1003 FORMAT(8I4)
0031 333 WRITE(6,4)
0032 4 FORMAT(20X,'INITIAL MATRIX',/)
0033 IF(W.GT.1) GO TO 216
0034 DO 209 I=1,N
0035 WRITE(6,210)I
0036 209 WRITE(6,209)(C(I,J),J=1,N)
0037 210 FORMAT(14)
0038 GO TO 211
0039 216 WRITE(6,207)(C(I,J),J=1,N),I=1,N)
0040 207 FORMAT(6I8)
0041 DO 8 I=1,N
0042 MIN=C(I,1)
0043 DO 6 J=1,N
0044 IF(C(I,J)-MIN) 5,6,6
0045 5 MIN=C(I,J)
0046 6 CONTINUE
0047 IF(MIN.EQ.0) GO TO 8
0048 COST=COST+MIN
0049 DO 7 I=1,N
0050 C(I,I)=C(I,I)-MIN
0051 7 CONTINUE
0052 DO 13 I=1,N
0053 MIN=C(I,1)
0054 DO 10 J=1,N
0055 IF(C(I,J)-MIN) 9,10,10
0056 9 MIN=C(I,J)
0057

```

```

0053      10 CONTINUE
0059      IF(MIN)11,13,11
0060      11 COST=COST+MIN
0061      12 C(I0,1)=C(I0,1)-MIN
0062      13 CONTINUE
0063      14 KEY=C
0064      15 25 1=1,N
0065      16 22 2=1,N
0066      17 L(I)=0
0067      18 L(I)=LZ(I)+1
0068      C(I)=CZ(I)+1
0069      IF(LZ(I)-1)15,16,17
0070      PJ(I)=J
0071      L(I)=1
0072      19 18
0073      17 L(I)=0
0074      PJ(I)=0
0075      18 IF(CZ(I).GT.1) GO TO 20
0076      PJ(I)=1
0077      CL(I)=1
0078      20 18
0079      20 CL(I)=0
0080      PJ(I)=0
0081      22 CONTINUE
0082      23 CONTINUE
0083      25 20 30 1=1,N
0084      C *** FINAL ASSIGNMENT IN EACH LINE ***
0085      1 F(LZ(I)-NE,1) GO TO 30
0086      2 F(LZ(I)-EQ,0) GO TO 30
0087      JU=PI(I)
0088      CALL DESIN(I,JJ)
0089      CALL FLMIN(I,JJ)
0090      30 CONTINUE
0091      00 40 K=1,N
0092      1 F(CK(K)-NE,1) GO TO 40
0093      2 F(CZ(K)-EQ,0) GO TO 40
0094      1=PI(K)
0095      CALL DESIN(I,K)
0096      CALL FLMIN(I,K)
0097      40 CONTINUE
0098      00 45 1=1,N
0099      1 F(CZ(I)-EQ,1) GO TO 25
0100      45 CONTINUE
0101      00 50 1=1,N
0102      1 F(LZ(I)-EQ,1) GO TO 25
0103      50 CONTINUE
0104      1 F(KEY.LT.N) GO TO 80
0105      WRITE(6,50)
0106      60 FORMAT(/5X,12HEFINAL MATRIX,/)
0107      1 F(LW.GT.1) GO TO 62
0108      00 61 1=1,N
0109      WRITE(6,210)1
0110      61 WRITE(6,208)(C(I,J),J=1,N)
0111      62 61
0112      62 WRITE(6,207)((C(I,J),J=1,N),I=1,N)
0113      63 WRITE(6,70)(L(J),PI(J),J=1,N)
0114      64 WRITE(6,75)COST

```

```
0115      70 FORMAT(110,25I4)
0116      75 FORMAT(/,5X,17HTCTAL TRAVEL TIME,18/)
0117      GO TO 3
0118      90 DO 95 I=1,N
0119      IF(LZ(I).EQ.0) GO TO 95
0120      DO 85 J=1,N
0121      IF(CL(J).NE.0) GO TO 85
0122      IF(C(I,J).NE.0) GO TO 85
0123      KK=J
0124      GO TO 90
0125      85 CONTINUE
0126      90 CALL DESIN(I,KK)
0127      CALL ELMIN(I,KK)
0128      GO TO 25
0129      95 CONTINUE
0130      DO 98 I=1,N
0131      IF(LL(I).NE.0) GO TO 98
0132      LZ(I)=1
0133      98 CONTINUE
0134      96 KEY1=0
0135      DO 100 I=1,N
0136      IF(LZ(I).NE.1) GO TO 100
0137      DO 97 J=1,N
0138      IF(C(I,J).NE.0) GO TO 97
0139      IF(CZ(J).EQ.1) GO TO 97
0140      CZ(J)=1
0141      KEY1=1
0142      97 CONTINUE
0143      100 CONTINUE
0144      DO 110 I=1,N
0145      IF(CZ(I).NE.1) GO TO 110
0146      IF(CL(I).EQ.0) GO TO 110
0147      II=PI(I)
0148      IF(LZ(II).EQ.1) GO TO 110
0149      KEY1=1
0150      LZ(II)=1
0151      110 CONTINUE
0152      IF(KEY1.NE.0) GO TO 96
0153      MIN=999999
0154      DO 120 J=1,N
0155      IF(LZ(J).EQ.0) GO TO 120
0156      DO 115 I=1,N
0157      IF(CZ(I).EQ.1) GO TO 115
0158      IF(C(J,I).GT.MIN) GO TO 115
0159      MIN=C(J,I)
0160      115 CONTINUE
0161      120 CONTINUE
0162      DO 130 I=1,N
0163      COST=COST+MIN
0164      DO 130 J=1,N
0165      130 C(I,J)=C(I,J)-MIN
0166      DO 160 I=1,N
0167      IF(LZ(I).EQ.1) GO TO 160
0168      COST=COST-MIN
0169      DO 155 J=1,N
0170      155 C(I,J)=C(I,J)+MIN
0171      160 CONTINUE
0172      DO 170 J=1,N
```

FORTRAN IV G LEVEL 21

MAIN

DATE = 77209

17/04/44

PAGE 0004

```

0173 IF(C(I),EQ,0) GC TO 170
0174 GCST=GCST-MIN
0175 DO 165 I=1,N
0176 155 C(I,J)=C(I,J)+MIN
0177 170 CONTINUE
0178 KEY2=KEY2+1
0179 27 200 I=1,N
0180 C(I)=0
0181 200 L2(I)=0
0182 GO TO 14
0183 235 FORMAT(50A1)
0184 236 FORMAT(1H1,/,1X,50A1)
0185 300 STOP
0186 END

```

99

```
0001      SUBROUTINE DESIN(I,J)
0002      INTEGER C(25,25),LL(50),CL(50),COST,LZ(50),CZ(50),PI(50),PJ(50),
0003      *M(50)
0004      COMMON N,C,LZ,CZ,PI,PJ,LL,CL,KEY,COST,LLL
0005      LZ(I)=0
0006      CZ(J)=0
0007      CL(J)=1
0008      PI(J)=I
0009      KEY=KEY+1
0010      LL(I)=1
0011      PJ(I)=J
0012      RETURN
0013      END
```


FPPTAN IV G LEVEL 21

ELMIN

DATE = 77Z09

17/04/44

PAGE 0001

```

0001 SUBROUTINE ELMIN(K,L)
0002 INTEGER C(25,25),LL(50),CL(50),COST,LZ(50),CZ(50),PI(50),PJ(50),
*JJ(50)
0003 C=PPCN A,C,LZ,CZ,PI,PJ,LL,CL,KEY,COST,LLL
0004 DO 10 I=1,N
0005 IF(LZ(I).EQ.0) GO TO 10
0006 IF(C(I,LI).NE.0) GO TO 10
0007 LZ(I)=LZ(I)-1
0008 IF(LZ(I).GT.0) GO TO 5
0009 LL(I)=0
0010 PJ(I)=LL(I)
0011 GO TO 10
0012 5 IF(LZ(I).NE.1) GO TO 10
0013 LL(I)=1
0014 DO 6 J=1,N
0015 IF(C(I,J).NE.0) GO TO 6
0016 IF(CZ(J).LE.0) GO TO 6
0017 PJ(I)=J
0018 6 CONTINUE
0019 10 CONTINUE
0020 DO 30 J=1,N
0021 IF(CZ(J).EQ.0) GO TO 30
0022 IF(C(K,J).NE.0) GO TO 30
0023 CZ(J)=CZ(J)-1
0024 IF(CZ(J).GT.0) GO TO 20
0025 CL(J)=0
0026 PJ(J)=0
0027 30 IF(CZ(J).NE.1) GO TO 30
0028 CL(J)=1
0029 DO 25 I=1,N
0030 IF(C(I,J).NE.0) GO TO 25
0031 IF(LZ(I).LE.0) GO TO 25
0032 PJ(I)=I
0033 25 CONTINUE
0034 30 CONTINUE
0035 RETURN
0036 END
0037

```

UNIVERSIDADE FEDERAL DA PARAÍBA
Pró-Reitoria Para Assuntos do Interior
Coordenação Setorial de Pós-Graduação
Rua Aprígio Veloso 882 - Tel (033) 321 7222-R 355
58.100 - Campina Grande - Paraíba

APÊNDICE D

Exemplo 1.a - Resultados obtidos dos programas 1 e 2 para primeira região.

Exemplo 1.b - Resultados obtidos do programa 3 para primeira região.

***FIRST REGION ***

INITIAL MATRIX

1	331	1056	1130	1155	1780	1790	1862	1862
2	679	520	1017	1021	1646	1646	1545	1545
3	1854	1043	725	629	346	346	108	108
4	1858	1083	725	629	346	346	108	108
5	1958	1093	725	629	346	346	108	108
6	1958	1083	725	629	346	346	108	108
7	1858	1083	725	629	346	346	108	108
8	1858	1083	725	629	346	346	108	108

FINAL MATRIX

1	0	725	232	353	1261	1261	1581	1581								
2	155	0	0	30	913	938	1075	1075								
3	1700	925	0	0	0	0	0	0								
4	1700	925	0	0	0	0	0	0								
5	1700	925	0	0	0	0	0	0								
6	1700	925	0	0	0	0	0	0								
7	1700	925	0	0	0	0	0	0								
8	1700	925	0	0	0	0	0	0								
	1	1	2	2	3	3	4	4	5	5	6	6	7	7	8	8

TOTAL TRAVEL TIME 3113